

UNIVERSIDADE
ESTADUAL DE
CAMPINAS

BC/9231
IB/80884

MESTRADO

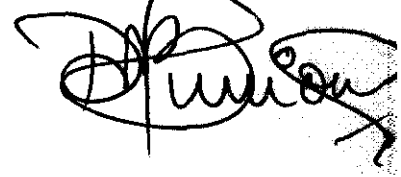
INSTITUTO DE BIOLOGIA

1988

da Tese defendida pera emanação
MÁRCIA MASIERO aprovada plla Comissão
MÁRCIA MASIERO Julgadora.

80884

Em 26/02/88



TÍTULO - Parassexualidade e produção de amiloglicosidase em
Aspergillus niger.

ORIENTADOR - Prof. Dr. RENATO BONATELLI Jr.

Dissertação apresentada ao Instituto de
Biologia da Universidade Estadual de
Campinas para obtenção do título de
Mestre em Ciências Biológicas, Genética

CAMPINAS - SP

1988

51M

UNICAMP
BIBLIOTECA CENTRAL

Classif.	J
Autor.	M378p
V.	Ex.
Tombo BC/	G231
IB/	785

13/ 80884
BY/ 9231



IBGE

A

Meus pais, Armando e Amazília

dedico

AGRADECIMENTOS

Quero expressar meus profundos agradecimentos à todos que de alguma forma contribuíram para a realização deste trabalho, e em especial:

A Deus por mais esta oportunidade de vida e de aprendizado entre pessoas de tão inestimável valor.

Aos bons espíritos que tanto se esforçam por me inspirar no bem.

Ao Prof. Renato Bonatelli Jr. pela excelente orientação, amizade e apoio que sempre demonstrou, desde os estágios de graduação e que eu espero poder seguir como exemplo de dedicação e profissionalismo.

Aos Professores Aline A. Pizzirani-Kleiner, Cláudio Luiz Messias e Ivanhoé Rodrigues Baracho pela atenção na leitura e valiosas sugestões dadas durante a análise prévia desta tese.

Ao Prof. Aquiles Piedrabuena pela alegria e prontidão com que me auxiliou nas análises estatísticas.

Ao Tó pelo incondicional apoio e paciência nas horas difíceis, pelo companheirismo e pela tremenda ajuda com os programas de computador e impressão da tese.

A minha irmã Rosilene por tudo e tanto que fez por mim,
sem o que não seria possível o término desta tese.

Aos meus pais e irmãos que me apoiaram e possibilitaram
os estudos.

Aos amigos do Curso de Pós-Graduação, Ana Melanogaster,
Neiva Brunet, Dilaine Shields, Juverlandi, Breno, Dráusio, José Carlos,
Cris, Cristina, Arrais, Marcos e Ricardo pela grande amizade e
pacientância de sempre.

A Gisela e Airton pelas sugestões, discussões e apoio
valioso, além da amizade sincera.

A grande amiga Maria Regina por tudo.

Aos funcionários Edna, Wilson, Sônia, Célia, Rita, Sílvia e Tereza pela grande colaboração e amizade.

A CAPES pela concessão da bolsa de Mestrado, à FAPESP
pela concessão da bolsa de Mestrado e auxílio-tese, e a Profa. Maria
Luiza Silveira Mello, Coordenadora da Comissão de Pós-Graduação, pelo
material oferecido para confecção desta tese.

ÍNDICE

	Pág.
1. INTRODUÇÃO	1
2. REVISÃO BIBLIOGRÁFICA	2
2.1. O fungo <i>Aspergillus niger</i>	2
2.2. O ciclo parassexual em fungos	2
2.3. A enzima Amiloglicosidase	11
2.4. Aspectos genéticos e de melhoramento de microrganismos	11
3. MATERIAL E MÉTODOS	16
3.1. Linhagens de <i>Aspergillus niger</i> utilizadas	16
3.2. Esterilização e incubação	17
3.3. Soluções e meios de cultura	17
3.3.1. Solução Tween	17

3.3.2.	Solução salina	17
3.3.3.	Solução de vitaminas	17
3.3.4.	Hidrolizado de ácido nucleico de leveduras	18
3.3.5.	Solução Benlate	18
3.3.6.	Solução de amido 1% em tampão citrato 0.1M pH 4,0	18
3.3.7.	Soluções estoque	18
3.3.8.	Meio mínimo (MM) (PONTECORVO e col., 1952b)	19
3.3.9.	Meio Completo (MC) (PONTECORVO e col., 1952b) ...	19
3.3.10.	Meio de fermentação (MAC) (BONATETELLI JR e col., 1984).....	20
3.3.11.	Meio mínimo líquido + 4% de meio completo	20
3.4.	Mutagênicos	20
3.4.1.	Etil Metano Sulfonato (EMS)	21

3.4.2. Luz Ultra-Violeta	21
3.5. Método de cultivo e manutenção das linhagens	21
3.6. Metodologia para medida da atividade enzimática	21
3.6.1. Produção da enzima	21
3.6.2. Medida da atividade enzimática	22
3.7. Obtenção de mutantes	23
3.7.1. Curva de sobrevivência	23
3.7.1.1. Mutagênico luz Ultra Violeta	23
3.7.1.2. Mutagênico EMS	23
3.7.2. Tratamento com luz Ultra-Violeta	24
3.7.3. Auxonografia de calônias após tratamento mutagênico	24
3.7.4. Enriquecimento por filtração	24



MAPA

3.7.5. Tratamento com EMS	25
3.7.6. Mutante resistente ao Verde Malaquita	25
3.7.6.1. Curva de sobrevivência	26
3.7.6.2. Obtenção de mutante espontâneo e induzido	26
3.7.6.3. Caracterização do mutante	26
3.7.6.4. Interação alélica da marca de resistência	26
3.7.7. Mutante resistente ao Brometo de Etídio	27
3.7.7.1. Curva de sobrevivência	27
3.7.7.2. Obtenção de mutante espontâneo e induzido	27
3.7.7.3. Caracterização do mutante	27
3.7.7.4. Interação alélica da marca de resistência	28

3.8. Obtenção de diplóides	28
3.8.1. Isolamento	28
3.8.2. Caracterização	29
3.8.3. Manutenção dos diplóides	29
3.9. Obtenção de segregantes	30
3.9.1. Isolamento	30
3.9.2. Caracterização	30
3.10. Análises estatísticas	30
4. RESULTADOS	31
4.1. Curva de sobrevivência a luz Ultra Violeta	31
4.2. Curva de sobrevivência ao EMS	31
4.3. Enriquecimento por filtração	33
4.4. Mutantes obtidos com EMS	35
4.5. Curva de sobrevivência ao Verde Malaquita	37

4.6. Caracterização do mutante resistente ao Verde Malaquita	37
4.7. Interação alélica da marca da resistência ao Verde Malaquita	39
4.8. Curva de sobrevivência ao Brometo de Etídio	42
4.9. Caracterização do mutante resistente ao Brometo de Etídio	42
4.10. Interação alélica da marca de resistência ao Brometo de Etídio	44
4.11. Obtenção e caracterização de diplóides	47
4.11.1. Diplóide <u>mgr</u> ₂ // <u>nic</u> ₁ <u>olv</u> ₃	50
4.11.2. Diplóide <u>ebr</u> ₅ // <u>nic</u> ₁ <u>olv</u> ₃	50
4.11.3. Diplóide <u>lys</u> ₁ // <u>nic</u> ₁ <u>olv</u> ₃	53
4.11.4. Diplóide <u>tio</u> ₁ // <u>nic</u> ₁ <u>olv</u> ₃	53
4.11.5. Diplóide <u>mys</u> ₁ // <u>nic</u> ₁ <u>olv</u> ₃	56

4.11.6. Diploide <u>met</u> ₁ // <u>nic</u> ₁ <u>olv</u> ₃	56
4.11.7. Diploide <u>arg</u> ₁ // <u>nic</u> ₁ <u>olv</u> ₃	59
4.11.8. Diploide <u>arg</u> ₁ // <u>lys</u> ₁ <u>nic</u> ₁	59
4.11.9. Diploide <u>arg</u> ₁ <u>lys</u> ₁ // <u>met</u> ₁ <u>nic</u> ₁	62
4.11.10. Recombinação genética entre marcas nos cruzamentos estudados	62
4.12. Produção de amiloglicosidase	65
4.12.1. Teste número 1 e 2	65
4.12.2. Teste número 3 e 4	68
4.12.3. Teste número 5 e 6	70
4.12.4. Teste número 7	73
4.12.5. Produção de amiloglicosidase das linhagens analisadas	74
5. DISCUSSÃO	77
5.1. Obtenção de mutantes	77

5.1.1. Auxotróficos	77
5.1.2. Resistentes	78
5.2. Testes de interação alélica e complementação em diplóides	78
5.3. Análises Genéticas	80
5.4. Produção de amiloglicosidase	81
6. CONCLUSÕES	84
7. RESUMO	86
8. SUMMARY	87
9. BIBLIOGRAFIA	88
APÊNDICE	105

LISTA DE TABELAS

TABELA	Pág.
1 Porcentagem de sobrevivência da linhagem <u>pab₁fn₁</u> ao agente mutagênico luz Ultra-Violeta	32
2 Porcentagem de sobrevivência da linhagem <u>pab₁fn₁</u> ao agente mutagênico EMS	32
3 Condições e mutantes obtidos por filtração	34
4 Condições e mutantes obtidos com EMS	36
5 Número de colônias crescidas da linhagem <u>pab₁fn₁</u> nas diferentes concentrações de Verde Malquita	38
6 Crescimento das linhagens em diferentes concentrações de Verde Malaquita	38
7 Número e porcentagem de colônias crescidas nas diferentes concentrações de Verde Malaquita	40
8 Número de colônias crescidas da linhagem <u>pab₁fn₁</u> em diferentes concentrações de Brometo de Etídio	43

9	Crescimento do mutante <u>ebr</u> ₅ comparado com a linhagem parental <u>pab</u> ₁ <u>fn</u> ₁ nas diferentes concentrações de Verde Malaquita	43
10	Tamanho da colônia e porcentagem de crescimento nas diferentes concentrações de Brometo de Etídio	45
11	Caracterização dos diplóides	48
12	Símbolo dos diplóides	49
13	Marcas auxotróficas, morfológicas e de resistência ao Verde Malaquita dos segregantes do diplóide <u>mgr</u> ₂ // <u>nic</u> ₁ <u>olv</u> ₃	51
14	Análise mitótica do diplóide <u>mgr</u> ₂ // <u>nic</u> ₁ <u>olv</u> ₃	51
15	Marcas auxotróficas, morfológicas e de resistência ao Brometo de Etídio dos segregantes do diplóide <u>ebr</u> ₅ // <u>nic</u> ₁ <u>olv</u> ₃	52
16	Análise mitótica do diplóide <u>ebr</u> ₅ // <u>nic</u> ₁ <u>olv</u> ₃	52
17	Marcas auxotróficas e morfológicas dos segregantes do diplóide <u>lys</u> ₁ // <u>nic</u> ₁ <u>olv</u> ₃	54



18	Análise mitótica do diplóide <u>lys</u> ₁ // <u>nic</u> ₁ <u>olv</u> ₃	54
19	Marcas auxotróficas e morfológicas dos segregantes do diplóide <u>tio</u> ₁ // <u>nic</u> ₁ <u>olv</u> ₃	55
20	Análise mitótica do diplóide <u>tio</u> ₁ // <u>nic</u> ₁ <u>olv</u> ₃	55
21	Marcas auxotróficas e morfológicas dos segregantes do diplóide <u>mys</u> ₁ // <u>nic</u> ₁ <u>olv</u> ₃	57
22	Análise mitótica do diplóide <u>mys</u> ₁ // <u>nic</u> ₁ <u>olv</u> ₃	57
23	Marcas auxotróficas e morfológicas dos segregantes do diplóide <u>met</u> ₁ // <u>nic</u> ₁ <u>olv</u> ₃	58
24	Análise mitótica do diplóide <u>met</u> ₁ // <u>nic</u> ₁ <u>olv</u> ₃	58
25	Marcas auxotróficas e morfológicas dos segregantes do diplóide <u>arg</u> ₁ // <u>nic</u> ₁ <u>olv</u> ₃	60
26	Análise mitótica do diplóide <u>arg</u> ₁ // <u>nic</u> ₁ <u>olv</u> ₃	60
27	Marcas auxotróficas e morfológicas dos segregantes do diplóide <u>arg</u> ₁ // <u>lys</u> ₁ <u>nic</u> ₁	61
28	Análise mitótica do diplóide <u>arg</u> ₁ // <u>lys</u> ₁ <u>nic</u> ₁	61

29	Marcas auxotróficas e morfológicas dos segregantes do diplóide <u>arg₁</u> , <u>lys₁</u> // <u>met₁</u> , <u>nic₁</u>	63
30	Análise mitótica do diplóide <u>arg₁</u> , <u>lys₁</u> // <u>met₁</u> , <u>nic₁</u>	63
31	Resultados combinados de recombinação genética entre marcas nos cruzamentos estudados	64
32	Análise de variância dos dados dos experimentos 1 e 2	67
33	Comparação das médias pelo teste de Tukey dos dados da Tabela 32	67
34	Análise de variância dos dados dos experimentos 3 e 4	69
35	Comparação das médias pelo teste de Tukey dos dados da Tabela 34	69
36	Análise de variância dos dados dos experimentos 5 e 6	72
37	Comparação das médias pelo teste de Tukey dos dados da Tabela 36	72
38	Análise de variância dos dados do experimento 7	75
39	Comparação das médias pelo teste de Tukey dos dados da Tabela 38	75

40	Produção média de amiloglicosidase (U/ml) dos mutantes, parentais e diplóides e a distribuição das repetições em classes de 1 unidade	76
----	---	----

LISTA DE FIGURAS

FIGURA	Pág.
I Porcentagem de crescimento do mutante resistente, do parental sensível e do diplóide nas diferentes concentrações de Verde Malaquita	41
II Porcentagem de crescimento do mutante resistente, do parental sensível e do diplóide nas diferentes concentrações de Verde Malaquita	46



MP

LISTA DE TABELAS DO APÊNDICE

TABELA	Pág.
A1 Produção de AG de mutantes, parentais e diplóides	106
A2 Produção de AG de mutantes, parentais e diplóides	106
A3 Produção de AG de mutantes, parentais e diplóides	107
A4 Produção de AG de mutantes, parentais e diplóides	107
A5 Produção de AG de mutantes, parentais e diplóides	108
A6 Produção de AG de mutantes, parentais e diplóides	109
A7 Produção de AG de mutantes, parentais e diplóides	110

1. INTRODUÇÃO

A enzima amiloglicosidase (E.C.3.2.1.3.) tem sido intensamente estudada devido a sua capacidade de converter amido em glicose (DIXON e WEBB, 1962). Dentre os diversos microrganismos produtores dessa enzima, os fungos, principalmente os dos gêneros *Aspergillus* e *Rhizopus*, são destacados devido a alta produtividade (SINKAR e LEWIS, 1982).

O fungo *Aspergillus niger* produz amiloglicosidase, dentre outros metabólitos de interesse industrial. O estudo básico e de melhoramento dessa espécie foi objeto de trabalhos como os de LHOAS (1961, 1967), VAN TUYLL (1977), BALL e col.(1978), BONATELLI JR e col. (1982, 1983) e BOS (1985, 1987). Contudo, muitos aspectos genéticos de um modo geral, e também os relativos à produção de amiloglicosidase necessitam ainda maiores esclarecimentos.

Assim, o presente trabalho tem por objetivos:

- 1- obter mutantes auxotróficos e de resistência à drogas em uma linhagem industrial de *Aspergillus niger*;
- 2- utilizar esses mutantes em cruzamentos via ciclo parassexual, visando localizar o grupo de ligação a que pertencem os marcadores genéticos estudados;
- 3- analisar a produção de amiloglicosidase dos mutantes, parentais e diplóides obtidos, visando estudar alguns aspectos genéticos da produção.

2 REVISÃO BIBLIOGRÁFICA

2.1. O fungo *Aspergillus niger*.

O fungo *Aspergillus niger* é considerado por RAPER e FENNELL (1965) organismo do grupo *niger*, apresentando colônias pretas quando cultivado em meio Czapek sólido, com duas séries de esterigmas e conídios globosos de aspecto rugoso, sem equinulações verdadeiras, medindo em torno de 4 a 5 um de diâmetro quando maduros.

Essa espécie não tem ainda evidenciado ou não apresenta o ciclo sexual, sendo assim classificada na Sub Divisão Deuteromicotina.

2.2. O ciclo parassexual em fungos.

Um requisito essencial ao estudo genético de qualquer organismo é que ele apresente mutantes. Estes podem ser morfológicos, diferenciados da linhagem selvagem visualmente (cor de conídios, modo de crescimento, secreção de pigmento, etc); auxotróficos ou nutricionais, diferenciados por não serem capazes de crescer em meio quimicamente definido, composto de nutrientes essenciais para a linhagem selvagem ou prototrófica, a menos que um ou mais fatores de crescimento sejam adicionados (BEADLE e TATUM, 1941); ou resistentes, que se dife-

renciam da linhagem selvagem por crescerem em meio contendo concentração inibitória de uma determinada substância.

Os mutantes morfológicos e resistentes são geralmente mais facilmente obtidos e selecionados que os auxotróficos. PONTECORVO e col. (1953 b), trabalhando com *Aspergillus nidulans* apontaram a facilidade com que mutantes morfológicos foram selecionados, principalmente após exposição à mutagênico, sendo que WARR e ROPER (1965) fizeram comentários similares com relação à obtenção de mutantes resistentes nesse mesmo organismo.

Mutantes auxotróficos, por outro lado, são fundamentais a estudos genéticos, apesar do seu isolamento ser mais laborioso. Normalmente a seleção é feita através da avaliação individual em meio de constituição definida, de grande quantidade de sobreviventes a tratamento com mutagênico, sendo que aqueles que não crescem são recuperados em meio completo e testados novamente em meio mínimo suplementado com diferentes requerimentos nutricionais, para que seja identificada a substância, ou substâncias, as quais o mutante é deficiente. Este procedimento foi originalmente utilizado em *Neurospora crassa* por BEADLE e TATUM (1941) e é conhecido pela denominação de isolamento total. O processo de isolamento, no entanto pode ser facilitado por técnicas como "STARVATION" (FRIES, 1948 a,b) e enriquecimento por filtração (FRIES, 1947), as quais diminuem o número de prototróficos entre os sobreviventes ao tratamento com o mutagênico. PONTECORVO e col. (1953 b) obtiveram excelentes resultados com a técnica de "STARVATION" em *Aspergillus nidulans*. O enriquecimento por filtração foi também

utilizado com sucesso por CATCHESIDE (1954) em *Neurospora crassa*; por DAY e ANDERSON (1961) em *Coprinus lagopus*; por ANDERSON e DEPPE (1977) em *Schizophyllum commune*; por SILVEIRA e AZEVEDO (1984) em *Metarhizium anisopliae* e por FUNGARO (1984) e VIALTA (1987) em *Aspergillus awamori*.

Tão primordial para se fazer estudos genéticos quanto a presença de mutantes é a existência de um sistema de recombinação na espécie. Embora o processo de recombinação sexual seja frequente, não são todos os organismos que o apresentam. Os fungos classificados na Sub-Divisão Deuteromicetina não tem evidenciado ou não apresentam ciclo sexual, sendo o ciclo parassexual a única alternativa de recombinação e portanto de estudo genético nesses organismos.

Após sua descoberta em 1952 por PONTECORVO e ROPER, no fungo filamentoso *Aspergillus nidulans*, o ciclo parassexual tem sido amplamente estudado em diferentes espécies de fungos por representar não só um importante instrumento de análise genética, como também de melhoramento de espécies de interesse industrial.

Foi demonstrado o ciclo parassexual em *Aspergillus niger* por PONTECORVO e col. (1953 a); em *Penicillium italicum* por STROMNAES e col. (1964); em *P. expansum* por BERAHY e GARBER (1966); em *A. flavus* por PAPA (1973); em *A. parasiticus* por PAPA (1978) e em *Metarhizium anisopliae* por MESSIAS e AZEVEDO (1980) e AL-AIDROOS (1980). Uma relação mais completa das espécies com ciclo parassexual descrito pode ser encontrada em CATEN (1981) e AZEVEDO (1987).

O ciclo parassexual difere em alguns pontos do processo sexual típico, e se caracteriza basicamente pela formação de diplóides relativamente estáveis, nos quais ocorrem permutas mitóticas e/ou haploidização, originando recombinantes mitóticos (PONTECORVO, 1956).

No processo de formação do diplóide, primeiramente ocorre anastomose de hifas resultando o heterocárcio, caracterizado pela presença de núcleos diferentes em um mesmo citoplasma. O heterocárcio pode se formar através de mutação, como mostraram ISHITANI e SAKAGUCHI (1956) e TINLINE (1961). Os primeiros demonstraram a presença de heterocárcio após tratamento de homocários com luz Ultra-Violeta em *Aspergillus sp.*, e o segundo recuperou clones auxotróficos a partir de hifas homocárticas tratadas com luz Ultra-Violeta em *Cochliobolus sativus*. O fenômeno da heterocariose pode ser encontrado descrito nas revisões de CATEN e JINKS (1966) e TINLINE e MACNEILL (1969).

Devido a proximidade dos núcleos no heterocárcio, pode ocorrer a formação do diplóide heterozigoto por cariogamia. ROPER (1952) descreveu a obtenção de diplóides heterozigotos em fungos filamentosos através do cruzamento de linhagens com marcas auxotróficas e morfológicas. Os diplóides assim obtidos se assemelham à linhagem selvagem podendo, no entanto, ser separados por características como: conteúdo de DNA nuclear (HEACY e ROPER, 1952); diâmetro de conídios 1,1 a 1,3 vezes maior (PONTECORVO e ROPER, 1952); segregação de marcas genéticas envolvidas no cruzamento (KAFER, 1960) e sensibilidade ao fungicida Benlate (HASTIE, 1970; UPSHALL e col., 1977).

Com relação ao diâmetro de conídios ROSIM e col. (1978) concluíram que este não é critério confiável para a caracterização de diplóides em *Aspergillus niger*, apesar dos resultados de LHOAS (1967) SHCHERBAKOVA e col. (1978) e BONATELLI JR e col. (1983). Ainda em relação a diferença de tamanho de conídios entre diplóides e haplóides, esta não ocorre em *Aspergillus oryzae* e *A. sojae* (ISHITANI e col., 1956), em *Ustilago maydis* (HOLLIDAY, 1961), em *Cochliobolus sativus* (TINLINE, 1962) e em *Metarrhizium anisopliae* (MESSIAS e AZEVEDO 1980).

A frequência de esporos diplóides a partir do micélio heterocariótico varia entre linhagens e entre espécies (TINLINE e MACNEILL, 1969) situando-se ao redor de 10^{-6} a 10^{-7} em *Aspergillus nidulans* (PONTECORVO e col., 1953b) e é mais alta em *Aspergillus niger* segundo LHOAS (1967) e PONTECORVO e col. (1953 a), sendo que os resultados de BOS (1985) mostram que essa frequência é semelhante a de *A. nidulans*.

A fase diplóide no ciclo parassexual é relativamente estável em comparação ao sexual constituindo, além de parte integrante daquele, excelente objeto de estudos como os de instabilidade genética (AZEVEDO, 1972, 1976), alelismo e não alelismo (AZEVEDO, 1972), regulação genica em eucariotos (SMITH e PATEMAN, 1977), etc.

Em 1978, BALL e HAMLYN, estudando *Acremonium chrysogenum* (*Cephalosporium acremonium*) sugeriram que a condição diplóide nessa espécie é transitória, como no ciclo sexual, pois recombinantes são ob-



tidos diretamente, sem observação do diplóide heterozigoto. HAMLYN e col. (1985) confirmaram que o estado diplóide nessa espécie não é estável, conseguindo entretanto, estabelecer oito grupos de ligação nessa espécie através do estudo de treze marcas genéticas usando fusão de protoplastos e obtendo recombinantes diretamente em meios seletivos apropriados. BONATELLI JR e col. (1983), estudando uma linhagem industrial de *Aspergillus niger*, observaram também alta frequência de recombinação mitótica, sugerindo o termo parameiose para designar o fenômeno de formação a partir do heterocárcio, além de diplóides heterozigotos, haplóides recombinantes e diplóides homozigotos para marcas genéticas estudadas. BAGALHI (1987) observou e estudou esse fenômeno em *Metarrhizium anisopliae*.

WARR e ROPER (1965) estudaram, através do ciclo parassexual, linhagens de *Aspergillus nidulans* resistentes a diferentes inibidores. Verificaram que os genes responsáveis pela resistência ao Teoquil, Verde Malaquita e p-fluorfenilalanina eram recessivos, sendo que os de resistência ao Actidione era semi-dominante e ao Iodoacetato era dominante.

AZEVEDO e col. (1977) estudaram mutação espontânea em *Aspergillus nidulans* para resistência aos fungicidas Cloroneb e Vitavax através do ciclo parassexual, verificando que o gene que conferia resistência ao Cloroneb era semi-dominante, e ao Vitavax era dominante. Outro aspecto interessante observado foi que ambos os fungicidas alteraram a instabilidade do diplóide, o Cloroneb aumentando e o Vitavax reduzindo a recombinação mitótica.

O passo seguinte à formação do diplóide no processo parassexual é a produção de recombinantes através de eventos como permuta e não disjunção mitótica, que ocorrem isolados ou juntos, seguidos de haploidização (PONTECORVO e KAFER, 1958).

PONTECORVO e ROPER (1952) se valeram do crossing-over mitótico, baseados nos trabalhos de STERN (1936) com *Drosophila melanogaster*, para explicar a ocorrência de segregantes homozigotos para algumas marcas, obtidos a partir de diplóides heterozigotos em *Aspergillus nidulans*. Estudos posteriores (ROPER e PRITCHARD, 1955; KAFER, 1961) mostraram que esse evento representava uma troca recíproca de cromossomos homólogos no estágio de quatro fios, de maneira que os núcleos filhos ou tornavam-se homozigotos para os marcadores distais com relação ao ponto de permuta, ou continuavam heterozigotos como o diplóide original. O estudo destes diplóides oferece um meio de se determinar a ordem dos genes e a posição do centrômero em fungos da Sub-Divisão Deuteromicotina.

LHOAS (1967) estimou a ocorrência de 20% de crossing-over mitótico em *Aspergillus niger*, estimativa esta bem maior que a obtida por PONTECORVO (1958) para *A. nidulans*, sendo que BOS (1985) estimou 0,3%, trabalhando com uma linhagem de origem diferente da usada por Lhoas.

WHELAN e SOLL (1982) demonstraram a ocorrência de recombinação mitótica num intervalo de genes marcadores em *Candida*

albicans, sugerindo assim a possibilidade de análise genética nesse patógeno que não tem identificado o ciclo sexual. WHELAN e MARKIE (1985), estudando híbridos de *C.albicans* sugeriram que o ciclo parassexual nesse organismo estaria baseado em híbrido tetraploide ($2n \times 2n \rightarrow 4n \rightarrow 2n$)

AMIRKHANIAN e COWAN (1985) mapearam três marcas morfológicas em *Coprinus cinereus* por recombinação mitótica induzida por luz Ultra-Violeta, sugerindo inclusive o uso de diplóides heterozigotos morfológicos em repulsão para testes rápidos de substâncias mutagênicas e carcinogênicas, devido a baixa ocorrência de segregantes mitóticos espontâneos nesse organismo.

Além da permuta mitótica, ocorre também a haploidização, que resulta de uma série de não disjunções (KÄFER, 1960, 1961), onde a partir de um diplóide pode-se obter toda uma gama de aneuplóides e haplóides cujos marcadores ligados segregam sempre juntos, a não ser em caso de crossing-over mitótico. Assim, a haploidização é uma maneira conveniente para se determinar grupos de ligação em fungos com ciclo parassexual.

LHOAS (1967); TUYLL (1977) e BOS (1987) sugeriram seis grupos de ligação em *Aspergillus niger*.

BERAHA e GARBER (1966) relataram a existência de pelo menos três diferentes loci de genes para resistência à fungicidas em diferentes grupos de ligação em *Penicillium expansum*. Em 1980, os mes-

mos autores, identificaram quatro grupos de ligação em *P. italicum* através de mutantes morfológicos, auxotróficos e de resistência ao Thiabendazol e ao o-fenilfenato de sódio, além de verificarem vários aspectos sobre a natureza das resistências.

BALL (1971) estudou o fungo *Penicillium chrysogenum* através do ciclo parassexual com o objetivo de construir mapas de ligação para estabelecer as bases de um programa de recombinação e melhoramento nessa espécie produtora de penicilina. Neste trabalho o autor identificou três grupos de ligação na espécie.

PAPA (1976) estabeleceu sete grupos de ligação em *Aspergillus flavus* e ainda conseguiu mapear muitos genes envolvidos na produção de aflatoxina, sugerindo papel regulatório para um deles (PAPA, 1980, 1982, 1984). Em *A.parasiticus* foram demonstrados seis grupos de ligação (BRADSHAW e col., 1983) sendo que dois dos genes que afetam a produção de aflatoxina foram mapeados no mesmo grupo.

COLEY e col. (1986) obtiveram treze mutantes resistentes ao cádmio em *Aspergillus nidulans*, sendo que cada um correspondeu a mutação em um único gene, mapeados em apenas dois loci diferentes, três no cromossomo IV e dez no cromossomo VI.

A obtenção de haplóides a partir de diplóides heterozigotos pode ser intensificada através de substâncias que induzem ou selecionam segregantes haplóides. A p-fluorfenilalanina (pFA), cujo efeito foi descoberto por MORPURGO (1961) e LHOAS (1961), foi usada em

trabalhos com diferentes espécies como *Aspergillus niger* (LHOAS, 1967; BOSS, 1987), *A. flavus* (PAPA, 1973, 1976, 1982, 1984) *A. parasiticus* (PAPA, 1978; BENNETT, 1979). O Benomyl foi usado por ANDERSON e col. (1985) para obter segregantes haplóides em *Armillaria mellea*. O fungicida Benlate foi usado com esse mesmo objetivo em *Aspergillus parasiticus* por BRADSHAW e col. (1983), em *Dictyostelium discoideum* por MORRISSEY e LOOMIS (1981) e em *Aspergillus niger* por BONATELLI JR e col. (1983), UMBUZEIRO VALENT (1985) e VIALTA (1987).

2.3. A enzima Amiloglicosidase

A enzima amiloglicosidase ou glucoamilase (E.C.3.2.1.3.) tem ação sobre as ligações α -1,4 e α -1,6 do amido a partir das extremidades não redutoras, liberando unidades de glicose (DIXON e WEBB, 1962).

Alguns autores estudaram essa enzima, obtida de *Aspergillus niger* (KERR e col., 1951; PAZUR e ANDO, 1959) confirmando sua ação sobre o amido, enquanto PAZUR e KLEPPE (1962) a purificaram, determinando ainda seu peso molecular aproximado.

Duas formas da enzima, a amiloglicosidase I e II, foram demonstradas em *Aspergillus niger* por FLEMING e STONE (1965), FINCH e LEONARD (1978), SVENSSON e col. (1982) e RAMANESH e col. (1982), que são imunologicamente iguais segundo MANJUNATH e RAO (1980).

2.4. Aspectos genéticos e de melhoramento de microrganismos

Pode-se conseguir melhorar a produção de metabólitos de interesse industrial através de modificações nas condições de cultivo do microrganismo utilizado. No entanto, aumentos realmente elevados de produtividade só são conseguidos com a introdução de modificações genéticas, através de mutação e/ou recombinação, nestes organismos.

Muitos trabalhos tem sido feitos neste sentido em relação a diversos metabólitos e em diferentes microrganismos. Em muitos casos a tentativa de aumento de produção é feita diretamente através de seleção de mutantes com alta produção. Com relação a enzima amiloglicosidase, por exemplo, PARK e DE SANTI (1977) e NEVALAINEN e PALVA (1979) conseguiram, após tratamento com mutagênico, selecionar mutante de *Aspergillus awamori* com respectivamente 1 e 2,5 vezes maior produção que a linhagem parental.

KVESITADZE e col. (1981) obtiveram mutante de *Aspergillus niger*, através do uso de luz Ultra-Violeta, com produção 10 vezes maior de amilase e amiloglicosidase ácido estáveis, que a linhagem parental.

IVANOVA e IROKHINA (1983) isolaram linhagem com produção de amiloglicosidase 2,5 vezes maior que a linhagem parental, através do uso de nitrosoguanidina e seleção de mutantes desreprimidos para maltose.

Outro aspecto considerado importante para escolha de técnicas de melhoramento é o estudo dos genes envolvidos na produção do metabólito em questão. Com esse objetivo, mutantes de baixa ou nula produção, assim como aqueles de produção elevada são usados. Os estudos genéticos dessas mutações é feito através de recombinação com marcas genéticas conhecidas, para localização desses genes e identificação das relações entre eles.

Nesse sentido foram conduzidos trabalhos com *Penicillium chrysogenum* (SERMONTI, 1956; NORMANSELL e col., 1979) e com *Aspergillus nidulans* (MACDONALD, 1972; EDWARDS e col., 1974; HOLT e col., 1976; MAKINS e col., 1983) em relação a produção de penicilina.

YAMASHITA e FUKUI (1984 a, b) estudaram mutantes não produtores de amiloglicosidase em *Saccharomyces diastaticus* e UMBUZEIRO VALENT (1985) em *Aspergillus niger*.

Com relação a marcas, principalmente auxotróficas, introduzidas em linhagens de interesse industrial, verifica-se que estas podem alterar o nível de produção. MACDONALD e col.(1963) sugeriram efeito pleiotrópico de marcas auxotróficas que diminuiam a produção de penicilina em *Penicillium chrysogenum*. BENNETT (1979) também verificou que mutantes auxotróficos em geral, apresentavam produção de aflatoxina menor que linhagens prototróficas de *Aspergillus parasiticus*.

Esta característica também foi observada em trabalhos com outros metabólitos como o ácido cítrico (CHANG e TERRY, 1973; DAS e ROY, 1978; BONATELLI JR e col., 1982) e amiloglicosidase (CHANG e TERRY, 1973; UMBUZEIRO VALENT, 1985).

Por outro lado, FIEDUREK (1983) e ILCZUK (1970) relataram aumentos de produção de enzimas pectinolíticas e ácido cítrico respectivamente, em mutantes auxotróficos de *Aspergillus niger*. Ainda, ILCZUK e FIEDUREK (1986) selecionaram revertentes de mutantes auxotróficos desta mesma espécie com produção de amiloglicosidase 40% maior que o prototrófico maior produtor.

A respeito da produção de metabólitos por heterocários e diplóides, os resultados também variam. ILCZUK e FIEDUREK (1985) verificaram que heterocários obtidos entre mutantes auxotróficos de *Aspergillus niger* apresentaram produção de amilase superior a de seus componentes. Essa produção, contudo era sempre menor que a do prototrófico maior produtor. O mesmo ocorreu com diplóides em relação à ácido cítrico (CHANG e TERRY, 1973; BONATELLI JR e col., 1982) e à amiloglicosidase (CHANG e TERRY, 1973; UMBUZEIRO VALENT, 1985). No entanto, DAS e ROY (1978), JOHANNSEN e col. (1985) e GRIGOROV e col. (1986) obtiveram diplóides de *Aspergillus niger*, *Candida shehatae* e *Rhizopus pygmaeus* com produções aumentadas de, respectivamente ácido cítrico, D-xilose e amiloglicosidase em relação a linhagem selvagem maior produtora.

O aspecto mais interessante no entanto, em relação a melhoramento é a possibilidade de recombinação de características de interesse encontradas em diferentes linhagens ou mesmo espécies. BALL e col. (1978) por exemplo, obtiveram linhagem recombinante de *Aspergillus niger* com alta produção de amiloglicosidase e boas características de filtração através de recombinação pelo uso do ciclo parassexual. KUNDU e DAS (1985) também obtiveram linhagem de *A. niger* recombinante, via ciclo parassexual alta produtora de gluconato de cálcio com boas características de crescimento e esporulação. Assim, a utilização deste ciclo tanto para estudos básicos quanto de melhoramento, tem sido bastante positiva, se mostrando um instrumento primordial em trabalhos de genética de fungos.



3. MATERIAIS E MÉTODOS

3.1. Linhagens de *Aspergillus niger* utilizadas

Foram utilizadas as linhagens abaixo relacionadas:

- linhagem pab₁fn₁, mutante deficiente para ácido p-amino-benzólico e conídios marrom claro, obtido da linhagem industrial 10v10 por tratamento com luz Ultra-Violeta (BONATELLI JR , 1981).
- linhagem pab₁fn₁lys₁ (lys₁), mutante deficiente para ácido p-aminobenzólico e lisina, e conídios marrom claros, obtido da linhagem pab₁fn₁ por tratamento com luz Ultra-Violeta. Este mutante foi obtido em trabalho anterior (Bolsa de Aperfeiçoamento CNPq : "Produção de amiloglicosidase por mutantes de *Aspergillus niger* em meio de glicerol") por seleção total numa frequência de $1,6 \cdot 10^{-3}$.
- linhagem pab₁fn₁arg₁ (arg₁), mutante deficiente para ácido p-aminobenzólico e arginina, e conídios marrom claro, obtido da linhagem pab₁fn₁ , por tratamento com luz Ultra-Violeta. Mutante gentilmente cedido por Maria Regina Calil (Dados não publicados).
- linhagem nic₁olv₃ , mutante deficiente para ácido nicotínico e conídios verde oliva, obtido da linhagem industrial 10v10 por tratamento com luz Ultra-Violeta (BONATELLI JR , 1981).

3.2. Esterilização e Incubação

Esterilizou-se os meios de cultura e soluções utilizadas em autoclave à 1 atm (120°C) por 20 minutos ,a menos que seja especificado de maneira diversa. A incubação foi feita em estufa regulada para 28°C.

3.3. Soluções e Meios de Cultura

3.3.1. Solução Tween 80

Adicionou-se Tween 80 a água destilada na concentração de 0,1% (v/v). Colocou-se 2,5ml dessa solução em tubos de ensaio que após autoclavagem foram conservados à temperatura ambiente.

3.3.2. Solução Salina

Adicionou-se 8,5g de NaCl em 1000ml de água destilada. Colocou-se 9,4ml dessa solução em frascos de 30ml que após autoclavagem foram conservados à temperatura ambiente.

3.3.3. Solução de Vitaminas

Biotina	0,2 mg
Ácido p-aminobenzólico	10,0 mg
Tiamina	10,0 mg
Piridoxina	50,0 mg
Ácido nicotínico	100,0 mg
Riboflavina	100,0 mg

Agua destilada 100,0 ml

A mistura foi autoclavada e conservada sobre clorofórmio em refrigerador.

3.3.4. Hidrolisado de Ácidos Nucleicos de Leveduras

Colocou-se 2g de ácido nucleico em 15ml de solução 1N de NaOH e 2g de ácido nucleico em 15ml de solução 1N de HCl. As soluções foram aquecidas por 20 minutos à 100°C, misturadas a quente e o pH ajustado para 6,0. A mistura foi filtrada completando-se o volume com água destilada para 40 ml e guardada no refrigerador sobre clorofórmio.

3.3.5. Solução Benlate

Quatro miligramas de Benlate (fungicida: metil-1-(butil-carbamotil)-2-benzimidazol-carbamato) foram dissolvidos em 1ml de acetona e 99ml de água destilada esterilizada e guardada à temperatura ambiente.

3.3.6. Solução de Amido 1% em Tampão Citrato 0,1M pH 4,0

Dissolveu-se a quente 1g de amido solúvel em aproximadamente 40ml de água destilada. Misturou-se 33ml de solução de 0,1M de ácido cítrico com 17ml de solução 0,1M de citrato de sódio, adicionando-se o amido dissolvido e completou-se o volume para 100ml com água destilada.

3.3.7. Soluções Estoque

As soluções estoque dos requerimentos nutricionais dos mutantes auxotróficos foram feitas nas concentrações abaixo descritas e após esterilização (item 3.2.) foram guardadas em refrigerador.

As soluções estoque das drogas para mutantes resistentes foram feitas acrescentando em água destilada esterilizada, quantidades adequadas para obter-se as concentrações descritas abaixo, sendo conservadas em refrigerador em frasco envolto em papel alumínio.

As soluções de aminoácidos, tiossulfato de sódio e guanina foram de 10mg/ml, as de ácido nicotínico e ácido p-aminobenzoico de 1,25mg/ml, e as de Verde Malaquita e Brometo de Etídio de 0,1mg/ml.

3.3.8. Meio Mínimo (MM) (PONTECORVO e col., 1953 b)

Nitrato de Sódio	6,00 g
Cloreto de Potássio	0,52 g
Sulfato de Magnésio 7H ₂ O	0,52 g
Fosfato Dihidrogenado de Potássio	1,52 g
Sulfato de Ferro (solução 1% p/v)	0,10 ml
Sulfato de Zinco (solução 1% p/v)	0,10 ml
Glicose	10,00 g
Agua Destilada	1000 ml

O pH foi ajustado para 6,8 com NaOH (4%) ou HCl (1N).

Quando sólido, adicionou-se 15g de ágar por litro.

Os requerimentos nutricionais das linhagens foram adicionados ao meio quando necessário nas concentrações de 100 µg/ml para bases nitrogenadas, tiossulfato de sódio e aminoácidos e 6,25 µg/ml para vitaminas.

3.3.9. Meio Completo (MC) (PONTECORVO e col., 1953 b)

Adicionou-se a 1000ml de MM

Peptona 2,0 g

Caseína Hidrolisada 1,5 g

Extrato de Leveduras 0,5 g

Solução de Vitaminas (item 3.3.3.) 1,0 g

Ácido Nucleico de Leveduras 2,5 ml

O pH foi ajustado para 6,8 com NaOH ou HCl. Quando sólido, adicionou-se 15g de ágar por litro.

3.3.10. Meio de Fermentação (MAC) (BONATELLI JR e col., 1984)

Farinha de raspa de mandioca 20,0 g

Nitrato de Sódio 2,0 g

Fosfato Dihidrogenado de Potássio 1,0 g

Sulfato de Magnésio 7 H₂O 0,5 g

Água Destilada 1000 ml

O pH foi ajustado para 5,5 e a esterilização foi feita à 1 atm por 15 minutos. Quando necessários foram adicionados requerimentos nutricionais das linhagens em estudo como especificado para o MM.

3.3.11. Meio Mínimo Líquido mais 4% de Meio Completo

Adicionou-se 4ml de MC líquido a 96ml de MM líquido.

Colocou-se 2,5ml dessa solução em tubos de ensaio que após autoclavegem foram conservados em refrigerador.

3.4. Mutagênicos

3.4.1. Etil Metano Sulfonato (EMS)

Solução 8% de EMS em água destilada esterilizada (v/v) (Sigma).

3.4.2. Luz Ultra-Violeta

Lâmpada Mineralight - Multi Band - UV- SL.25 da Ultra Violet Products INC, San Gabriel, California.

Ondas curtas (254nm), $300 \mu\text{w}/\text{cm}^2/\text{s}$ de intensidade e altura de 6,4cm da lâmpada em relação a superfície tratada.

3.5. Método de Cultivo e Manutenção das Linhagens

As culturas foram inoculadas em placas de Petri contendo MC e incubadas por 6 dias para crescimento vegetativo.

A manutenção das linhagens foi feita em tubos de ensaio contendo MC ou MM inclinado, guardadas em refrigerador.

3.6. Metodologia para Medida da Atividade Enzimática

3.6.1. Produção da enzima

Inoculou-se 1ml de uma suspensão de 10^6 conídios/ml em Erlenmeyers de 125ml com 25ml de meio de fermentação MAC. Os frascos foram então incubados por 4 dias, sem agitação.

Mutantes auxotróficos e resistentes à drogas, assim como as linhagens parentais e os diplóides obtidos foram testados para produção da enzima amiloglicosidase, segundo esta metodologia, com 5 repetições por teste. Os mutantes foram ensaiados juntamente com seus respectivos diplóides e parentais, para efeito de comparação e análise estatística.

3.6.2. Medida da Atividade Enzimática

Após 4 dias de fermentação, as amostras foram filtradas e 0,5ml de cada uma, após diluição conveniente, foi incubado com 0,5ml de solução tampão citrato 1% de amido por 60 minutos em banho-maria à 60°C (condições adaptadas dos trabalhos de PARK e PAPINI, 1970; BANKS e col., 1976)

Após incubação, as amostras foram transferidas ao banho-maria de água fervente por 3 minutos para inativação da enzima.

Procedeu-se então a medida da quantidade de açúcares redutores liberada, após a hidrólise do amido pela amiloglicosidase presente no filtrado.

Os açúcares redutores foram medidos pelo método da ortotoluidina, utilizando-se kits para determinação da glicose (Labtest, Doles ou Biobrás). O espectofotômetro (Coleman - modelo 295) foi ajustado para o comprimento de onda 630nm ou 625nm, conforme especificações do kit utilizado.

A quantidade de açúcares redutores presente no filtrado após fermentação foi também estimada e denominada Glicose Residual. Considerou-se a quantidade de açúcares redutores medida após

hidrólise do amido menos a "Glicose Residual" correspondente, para o cálculo da produção da enzima amiloglicosidase.

A quantidade de açúcares redutores foi expressa em mg/100ml e cada 1000mg/100ml corresponde a uma unidade (U) de amiloglicosidase (AG).

3.7. Obtenção de Mutantes

3.7.1. Curva de Sobrevida

3.7.1.1. Mutagênico Luz Ultra Violeta

Uma suspensão de conídios da linhagem pab₁fwn₁, ajustada para 10^3 conídios/ml foi irradiada com luz Ultra-Violeta por tempos de 0 ; 2,5 ; 5 ; 7,5 ; 10 ; 12,5 ; 15 e 17,5 minutos. Após cada tempo de irradiação foram retiradas alíquotas de 0,1ml para semejar placas de Petri com MC. Após 4 dias de incubação as colônias foram contadas e calculada a porcentagem de sobrevida para cada tempo, tomando-se o tempo zero como 100%.

3.7.1.2. Mutagênico EMS

Foi usada uma suspensão de conídios da linhagem pab₁fwn₁, ajustada para 2.10^7 conídios/ml. Alíquotas de 0,5ml desta suspensão foram adicionadas à 0,5ml de solução de EMS em água destilada esterilizada resultando as concentrações finais de 0 ; 1 ; 2 ; 3 ; 4 e 5% do mutagênico (v/v). Após 2 horas de incubação, estas suspensões foram diluídas convenientemente para que se pudesse inocular um



CAMP

número contável de colônias em placas de Petri com MC. Após 4 dias de incubação as colônias foram contadas e calculada a porcentagem de sobrevivência para cada concentração do mutagênico, tomando-se a concentração zero como 100%.

3.7.2. Tratamento com Luz Ultra-Violeta

Para cada tratamento, uma suspensão de conídios da linhagem pab₁fn₁, ajustada com solução salina, foi exposta à luz Ultra-Violeta (condições descritas no item 3.4.2.) por 7,5 minutos (determinados de acordo com o item 3.7.1.1.). Após esse tempo a suspensão foi, quando necessário, diluída novamente, e uma alíquota de 0,1ml foi semeada em placas de Petri com MC (a menos que seja especificado de maneira diversa).

3.7.3. Auxonografia de Colônias após Tratamento Mutagênico

As colônias foram testadas em MM + requerimentos nutricionais, como descrito por PONTECORVO e col. (1953 b).

3.7.4. Enriquecimento por Filtração

Quatro mililitros de uma suspensão de conídios da linhagem pab₁fn₁, com 10^5 conídios/ml foi tratado com luz Ultra-Violeta (item 3.7.2.) e inoculado em Erlenmeyers de 250ml com 50ml de MM + ácido p-aminobenzólico. Este foi então incubado à temperatura ambiente, sob agitação por 24 a 72 horas, dependendo do crescimento

apresentado. Após esse tempo o conteúdo desse frasco foi filtrado e o filtrado centrifugado por 10 minutos na posição 5 (centrifuga Excelsa Baby da Fanen). O sobrenadante foi descartado e o sedimento resuspendedo em solução salina. Foi feita então a contagem de conídios em hematímetro e após diluições convenientes semeou-se 0,1ml dessa suspensão em placas de Petri com MC (SILVEIRA e AZEVEDO, 1984) . Com 3 a 4 dias de crescimento, as colônias foram inoculadas em placas de Petri com MM + ácido p-aminobenzólico por ponto, e aquelas que não apresentaram crescimento após 2 dias de incubação foram testadas para auxotrofia (ítem 3.7.3.).

3.7.5. Tratamento com EMS

Suspensões que variaram de 10^4 a 10^5 conídios da linhagem pab₁fn₁, foram tratadas com uma solução 8% de EMS (determinado de acordo com o ítem 3.7.1.2.) na proporção de 1:1 (0,5ml da suspensão de conídios e 0,5ml de solução de EMS - concentração final de 4% do mutagênico). Após incubação por 2 horas, a suspensão foi convenientemente diluída e 0,1ml foi então semeado em placas de Petri com MC. Após 4 dias de incubação, as colônias crescidas foram inoculadas em placas de Petri com MM + ácido p-aminobenzólico e aquelas que não apresentaram crescimento após 2 dias de incubação foram testadas para auxotrofia (ítem 3.7.3.).

3.7.6. Mutante Resistente ao Verde Malaquita

3.7.6.1. Curva de Sobrevida

Foi feita uma suspensão de conídios da linhagem pab₁fn₁, ajustada para 10^3 conídios/ml. Semeou-se 0,1ml dessa suspensão em placas de Petri com MC e MC + Verde Malaquita nas concentrações de 0,1 ; 0,2 ; 0,5 ; 0,8 e 1 μ g/ml. Após 4 a 6 dias de incubação contou-se o número de colônias.

3.7.6.2. Obtenção de Mutante Espontâneo e Induzido

Placas de Petri com MC + Verde Malaquita, na concentração de 0,5 μ g/ml foram semeadas com 0,1ml de uma suspensão de 10^5 conídios/ml e 0,3ml de uma suspensão de 3.10^4 conídios/ml da linhagem pab₁fn₁, previamente exposta a tratamento com luz Ultra-Violeta (item 3.7.2.) (3.10^4 conídios/ml = número de conídios sobreviventes). Após 6 a 8 dias de incubação as colônias presentes foram inoculadas em placas de Petri com MC + droga, por estriamento, e seu crescimento comparado ao da linhagem parental sensível.

3.7.6.3. Caracterização do Mutante

O mutante mgr₂ e a linhagem pab₁fn₁ foram inoculados por ponto em placas de Petri com MC + Verde Malaquita, nas concentrações de 10 ; 15 ; 20 ; 25 ; 30 ; 35 ; 40 ; 45 e 50 μ g/ml. Após 6 dias de incubação foi verificado o crescimento das colônias.

3.7.6.4. Intereração Alélica da Marca de Resistência

Foram feitas suspensões de conídios das linhagens pab₁fn₁ , mgr₂ e mgr₂"/nic₁olv₃ , ajustadas para 10^3 conídios/ml, e alíquotas de 0,1ml foram semeadas em placas de Petri com MC e MC



AMP

+ Verde Malaquita, nas concentrações de 1 : 5 e 10 µg/ml. Após 7 dias de incubação as colônias presentes foram contadas e calculada a porcentagem de crescimento nas placas com a droga, tomando-se aquelas sem a droga como 100%.

3.7.7. Mutante Resistente ao Brometo de Etídio

3.7.7.1. Curva de Sobrevida

Foi feita uma suspensão de conídios da linhagem pab₁fwn₁, ajustada para 10^3 conídios/ml e 0,1ml foi semeado em placas de Petri com MC e MC + Brometo de Etídio nas concentrações de 5 ; 10 ; 15 ; 20 ; 30 e 40 µg/ml. Após 6 dias de incubação contou-se o número de colônias.

3.7.7.2. Obtenção de Mutantes Espontâneo e Induzido

Placas de Petri com MC + Brometo de Etídio na concentração de 15 µg/ml, foram semeadas com 0,1ml de uma suspensão de 10^4 conídios/ml e 0,3ml de uma suspensão de $4 \cdot 10^4$ conídios/ml da linhagem pab₁fwn₁, previamente exposta ao tratamento com luz Ultra Violeta (item 3.7.2.) ($4 \cdot 10^4$ conídios/ml = número de conídios sobreviventes). Após 6 dias de incubação as colônias presentes foram inoculadas em placas de Petri com MC + droga, por estriamento, e seu crescimento comparado ao da linhagem parental sensível.

3.7.7.3. Caracterização do Mutante

O mutante ebr₅ e a linhagem parental pab₁fn₁ foram inoculados por estria, em placas de Petri com MC e MC + Brometo de Etídio, nas concentrações de 5 ; 10 ; 30 ; 50 ; 65 ; 80 ; 95 ; 100 ; 120 e 140 µg/ml. Após 7 dias de incubação, verificou-se o crescimento das colônias.

3.7.7.4. Interação Alélica da marca de Resistência

O mutante ebr₅, a linhagem pab₁fn₁ e o diplóide ebr₅//nic₁olv₃ foram inoculados, por ponto, em placas de Petri com MC e MC + Brometo de Etídio, nas concentrações 40 ; 100 e 140 µg/ml. Após 2 dias de incubação, as colônias presentes foram medidas.

3.8. Obtenção de Diplóides

3.8.1. Isolamento

Os diplóides foram obtidos através do método de ROPER (1952) modificado. Misturou-se conídios de cada uma das linhagens selecionadas para o cruzamento, com marcas auxotróficas e/ou coloração de conídios diferentes, em tubo de ensaio com MM + 4% de MC líquido. Após 5 a 7 dias de crescimento, a película desenvolvida foi cortada em 4 partes e transferida para placas de Petri com MM. Do heterocárcio formado foram transferidos conídios para solução Tween 80, diluídos em solução salina e semeados em placas de Petri com MM para isolamento de possíveis diplóides. Após 5 dias de crescimento as colônias isoladas foram purificadas através de estrias em placas de Petri com MM e posteriormente caracterizadas quanto a ploidia.

3.8.2. Caracterização

Os critérios para caracterização dos diplóides
foram os seguintes:

- prototrofia: cruzando-se linhagens com diferentes marcas genéticas, os diplóides devem ser prototróficos devido à complementação, apresentando crescimento em MM.

- coloração de Conídios: cruzando-se linhagens de coloração de conídios diferentes, os diplóides devem apresentar conídios de coloração selvagem (preta), devido à complementação .

- diâmetro de Conídios: o diâmetro de conídios do diplóide deve ser maior que dos haplóides (BONATELLI JR e col., 1983). O diâmetro de conídios foi medido com objetiva micrométrica, e a montagem da lâmina com lisol foi feita após 6 dias de crescimento das linhagens em placas de Petri com MM ou, quando necessário, MM + requerimentos nutricionais. Foram medidos 30 conídios por linhagem.

- teste com Benlate (item 3.3.5.): os diplóides devem produzir setores haplóides e aneuplóides na presença desse agente haploidizante (HASTIE, 1970, UPSHALL e col., 1977). Os possíveis diplóides foram inoculados por ponto em placas de Petri com MC + Benlate (1 a 1,5 µg/ml). Após 7 a 10 dias de crescimento verificou-se a formação ou não de setores segregantes.

3.8.3. Manutenção dos Diplóides

Os diplóides foram inoculados em tubos de ensaio com MM inclinado, e após 7 dias de crescimento foram estocados no refrigerador.

3.9. Obtenção de Segregantes

3.9.1. Isolamento

Inoculou-se o diplóide por ponto em placas de Petri com MC ou MM + requerimentos nutricionais, mais Benlate na concentração de 1 a 1,5 µg/ml. Após 5 a 7 dias de crescimento quando em MC e 8 a 10 dias quando em MM, os setores formados nas colônias foram purificados por estrias em placas de Petri com MC e estocados em tubos de ensaio com MC inclinado.

3.9.2. Caracterização

Os segregantes foram caracterizados quanto a coloração e auxotrofia. Para se determinar as marcas auxotróficas dos segregantes utilizou-se uma bateria de placas de Petri com MC, MM, MM+ todos os requerimentos nutricionais envolvidos e MM menos cada um dos requerimentos separadamente, onde os segregantes foram inoculados por ponto. Após 2 dias de crescimento para os segregantes marrons, e 3 dias para os verdes, verificou-se o crescimento ou não da colônia.

3.10. Análises Estatísticas

Os dados de produção foram analisados pelos testes F e Tukey (PIMENTEL GOMES, 1966).

4. RESULTADOS

4.1. Curva de Sobrevida à Luz Ultra Violeta

Os resultados de sobrevida, determinados de acordo com o ítem 3.7.1.1., estão na TABELA 1.

O tempo de 7,5 minutos conferiu uma sobrevida entre 3-4%, adequada para obtenção de mutantes.

A viabilidade calculada para a linhagem pab₁fun₁ foi de 25%.

4.2. Curva de Sobrevida ao EMS

Os resultados de sobrevida, determinados de acordo com o ítem 3.7.1.2., estão na TABELA 2.

A concentração de 4% de EMS conferiu uma sobrevida entre 2-3%, adequada para obtenção de mutantes.

A viabilidade calculada para a linhagem pab₁fun₁ foi de 30%.

TABELA 1 Porcentagem de Sobrevida da linhagem pab fwm, ao agente mutagênico luz Ultra-Violeta.

tempo (min)	\bar{x} de colônias sobreviventes	% de sobrevida
0,0	82,6	100,0
2,5	49,0	48,4
5,0	13,0	15,7
7,5	3,0	3,6
10,0	1,6	1,9
12,5	0,0	0,0
17,5	0,0	0,0

TABELA 2 Porcentagem de Sobrevida da linhagem pab fwm, ao agente mutagênico EMS.

Concen- tracão (%)	\bar{x} de colônias sobreviventes	% de sobrevida
0	39,00	100,00
1	18,00	60,00
2	16,00	53,30
3	2,00	6,60
4	0,70	2,30
5	0,01	0,04

4.3. Enriquecimento por Filtração

Foram feitas 19 filtrações segundo item 3.7.4.. A TABELA 3 mostra o número de colônias testadas, o tempo de incubação e os mutantes obtidos em cada filtração.

Obteve-se mutantes em tempos de incubação de 24, 48 e 72 horas. A frequência de mutantes foi de $7,5 \cdot 10^{-4}$, sendo que a partir da filtração de número 13 nenhum mutante foi obtido. Este fato pode ser explicado devido a lâmpada de luz Ultra-Violeta usada ter, provavelmente, perdido a potência ao longo do tempo. Isso poderia ser confirmado com dados de sobrevivência em cada experimento, mas estes não foram calculados por ausência de controle sem irradiação. De qualquer forma outros trabalhos no laboratório, com essa mesma lâmpada apresentaram os mesmos problemas. Se a frequência de mutantes for calculada com apenas as 12 primeiras filtrações a taxa aumenta para $1,6 \cdot 10^{-3}$ ficando semelhante ao obtido em trabalhos anteriores (BONATELLI JR e col., 1982).

Os mutantes obtidos foram:

- pab₁fn₁mys₁ (mys₁) : conídios marrons e deficiências para ácido p-aminobenzoíco e metionina ou cisteína ou cistina.
- pab₁fn₁tio₁ (tio₁) : conídios marrons e deficiências para ácido p-aminobenzoíco e tiossulfato.
- pab₁fn₁met₁ (met₁) : conídios marrons e deficiências para ácido p-aminobenzoíco e metionina.
- pab₁fn₁nic₁ (nic₁) : conídios marrons e deficiências para ácido p-aminobenzoíco e ácido nicotínico.

TABELA 3 Condições e mutantes obtidos por filtração

Filtração	Número de colônias	Mutantes	Tempo de incubação (horas)
01	250	<u>mus</u> ₁	24
02	105	-	24
03	81	-	24
04	242	-	24
05	225	-	48
06	225	-	48
07	125	-	48
08	364	<u>tio</u> ₁	48
09	211	-	48
10	303	-	48
11	250	<u>met</u> ₁	48
12	109	<u>nic</u> ₃	72
13	300	-	48
14	10	-	48
15	500	-	72
16	500	-	48
17	600	-	48
18	575	-	48
19	375	-	48
total	5350	4	

4.4. Mutantes Obtidos com EMS

Foram realizados 13 tratamentos com EMS como descrito no item 3.7.5.. A TABELA 4 mostra o número de colônias testadas, a porcentagem de sobrevivência e os mutantes obtidos para cada tratamento.

O único mutante obtido ocorreu em baixa porcentagem de sobrevivência. A frequência de mutantes foi de $2,2 \cdot 10^{-4}$. Essa baixa frequência pode ser devido a alta porcentagem de sobrevivência (acima de 15%) na maioria dos ensaios (números 5 ; 7 ; 8 ; 10 ; 11 ; 12 e 13), sendo que isso deve ter ocorrido em consequência ao EMS ser altamente volátil e a solução estoque com água estéril ser renovada apenas de tempos em tempos. Assim, pode ter ocorrido variação da concentração final de EMS nos ensaios para obtenção de mutantes.

A frequência de mutantes aumenta para $8 \cdot 10^{-4}$ se for calculada a partir dos ensaios com porcentagem de sobrevivência abaixo de 7% (números 3 ; 4 ; 6 e 9)..

O mutante abaixo descrito foi obtido no ensaio número 3, com 1,1% de sobrevivência:

pab,fun,pur₁ (pur₁) : mutante deficiente para ácido p-aminobenzóico e purinas (guanina ou adenina) e conídios marrons.



TABELA 4 Condições e mutantes obtidos com EMS.

Ensaio	% de sobre-vivência	número de colônias	Mutantes
01	- *	29	-
02	- *	5	-
03	1,1	425	<u>pur</u> ₁
04	2,4	150	-
05	15,2	50	-
06	6,8	500	-
07	20,6	125	-
08	29,1	550	-
09	1,1	150	-
10	19,3	625	-
11	19,7	375	-
12	23,9	675	-
13	19,4	800	-
total		4459	1

* Dados não obtidos.

4.5. Curva de Sobrevida ao Verde Malaquita

De acordo com o ítem 3.7.6.1., foi feita a curva de sobrevida da linhagem pab₁fn₁, ao Verde Malaquita e os resultados estão na TABELA 5. Devido a esses resultados foi escolhida a concentração de $0,5 \mu\text{g/ml}$ de Verde Malaquita para selecionar mutantes resistentes.

4.6. Caracterização do Mutante Resistente ao Verde Malaquita

Obteve-se uma frequência de $1,1 \cdot 10^{-2}$ mutantes induzidos resistentes ao Verde Malaquita e nenhum mutante espontâneo, através da metodologia descrita no ítem 3.7.6.2.

Foi escolhido um dos mutantes resistentes obtidos, o pab₁fn₁mgr₂ (mgr₂) (mutante deficiente para ácido p-aminobenzólico, conídios marrons e resistência ao Verde Malaquita), para dar prosseguimento ao trabalho. Este foi caracterizado segundo o ítem 3.7.6.3., e os resultados estão na TABELA 6. Observa-se que a linhagem parental não é capaz de crescer em concentrações de $10 \mu\text{g/ml}$ da droga. O mutante apresenta crescimento até a concentração de $30 \mu\text{g/ml}$; em concentrações de 35 a $45 \mu\text{g/ml}$ apresenta colônias menores, e é incapaz de crescer na concentração de $50 \mu\text{g/ml}$.

TABELA 5 Número de colônias crescidas da linhagem pab₁fun₁ nas diferentes concentrações de Verde Malaquita.

Concentração ($\mu\text{g}/\text{ml}$)	\bar{x} do número de colônias
0,0	91,5
0,1	133,5
0,2	114,5
0,5	8,0
0,8	8,0
1,0	8,0

TABELA 6 Crescimento das linhagens em diferentes concentrações de Verde Malaquita.

Concentração ($\mu\text{g}/\text{ml}$)	<u>pab</u> ₁ <u>fun</u> ₁	<u>wgr</u> ₂
10	-	+
15	-	+
20	-	+
25	-	+
30	-	+
35	-	+ -
40	-	+ -
45	-	+ -
50	-	-

+= crescimento

-= ausência de crescimento

+-= crescimento reduzido

4.7. Interação Alélica da Marca de Resistência ao Verde Malaquita

Para se verificar a interação alélica da marca de resistência, procedeu-se segundo o item 3.7.6.4. Os resultados estão na TABELA 7 e na FIGURA 1.

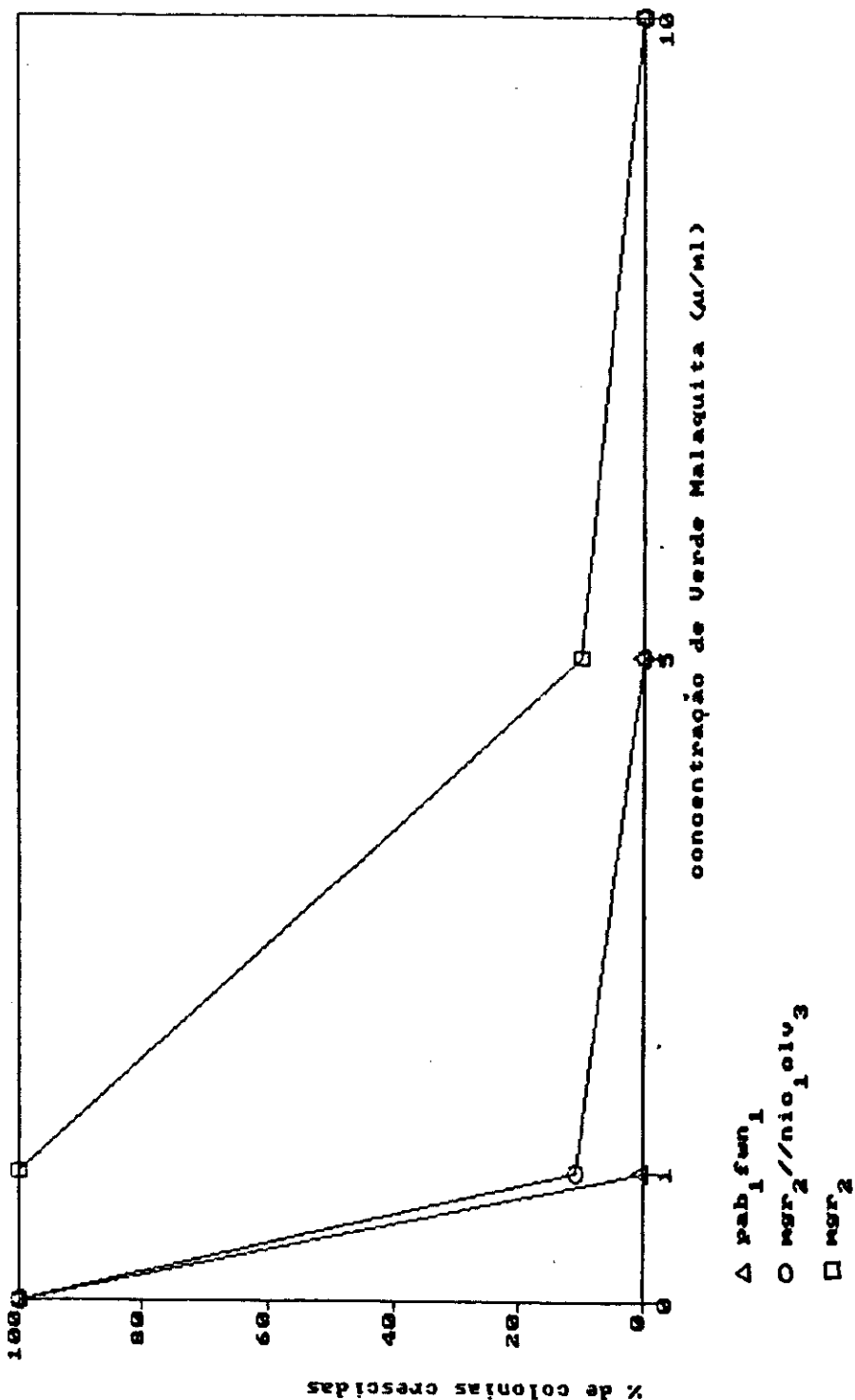
Devido à haploidização do diplóide, mesmo em concentrações baixas da droga, optou-se por uma comparação a nível de número de conídios resistentes e não por tamanho de colônia.

Observa-se que o mutante resistente mgr₂ apresenta 100% de crescimento apenas na concentração de 1 $\mu\text{g}/\text{ml}$, caindo para 10% em 5 $\mu\text{g}/\text{ml}$. O parental pab₁fun₁, não apresenta crescimento em nenhuma das concentrações testadas e o diplóide parece ter características semelhantes ao parental (FIGURA 1).

TABELA 7 Número e porcentagem de colônias crescidas nas diferentes concentrações de Verde Malachita.

concen- tração (μ g/ml)	<u>pab fwn</u> ₁ número de colônias	%	<u>mgr</u> ₂ número de colônias	%	<u>mgr</u> ₂ // <u>nic olv</u> ₃ número de colônias	%
0	124	100	111	100	109	100
1	0	0	112	100	12	11
5	0	0	11	10	0	0
10	0	0	0	0	0	0

FIGURA I Porcentagem de crescimento do mutante resistente, do parental sensível e do dipóide nas diferentes concentrações de Verde Malaquita.



4.8. Curva de Sobrevivência ao Brometo de Etídio

De acordo com o ítem 3.7.7.1., foi feita a curva de sobrevivência da linhagem pab₁fwn₁, ao Brometo de Etídio e os resultados estão na TABELA 8. Foi escolhida a concentração de 15 µg/ml da droga para selecionar mutantes resistentes.

4.9. Caracterização do Mutante Resistente ao Brometo de Etídio

Obteve-se uma frequência de $1,4 \cdot 10^{-4}$ mutantes induzidos resistentes ao Brometo de Etídio e nenhum mutante espontâneo, através da metodologia descrita no ítem 3.7.7.2.

Foi escolhido um dos mutantes resistentes obtidos, o pab₁fwn₁ebr₅ (ebr₅ (mutante deficiente para ácido p-aminobenzólico, confídios marromes e resistência ao Brometo de Etídio) para dar prosseguimento ao trabalho. Este foi caracterizado segundo o ítem 3.7.7.3., e os resultados estão na TABELA 9.

Observa-se que a linhagem parental pab₁fwn₁, não é capaz de crescer em concentrações de 10 µg/ml da droga. O mutante ebr₅ apresenta crescimento em concentrações de até 140 µg/ml (concentração máxima testada).

TABELA 8 Número de colônias crescidas da linhagem pab₁ fun₁ em diferentes concentrações de Brometo de Etídio.

Concentração ($\mu\text{g}/\text{ml}$)	Número de Colônias
0	107
5	4
10	0
15	0
20	0
30	0
40	0

TABELA 9 Crescimento do mutante ebr₅ comparado com a linhagem parental pab₁ fun₁ nas diferentes concentrações de Brometo de Etídio.

Concentrações ($\mu\text{g}/\text{ml}$)	<u>pab</u> ₁ <u>fun</u> ₁	<u>ebr</u> ₅
0	+	+
5	+	+
10	-	+
30	-	+
50	-	+
65	-	+
80	-	+
95	-	+
100	-	+
120	-	+
140	-	+

+= crescimento

-= ausência de crescimento

4.10. Interação Alélica da Marca de Resistência ao Brometo de Etídio

Para se verificar a interação alélica da marca de resistência, procedeu-se segundo o item 3.7.7.4. Os resultados estão na TABELA 10 e na FIGURA 2. Optou-se por uma comparação de crescimento após 2 dias de incubação, porque a partir daí havia haploidização do diplóide.

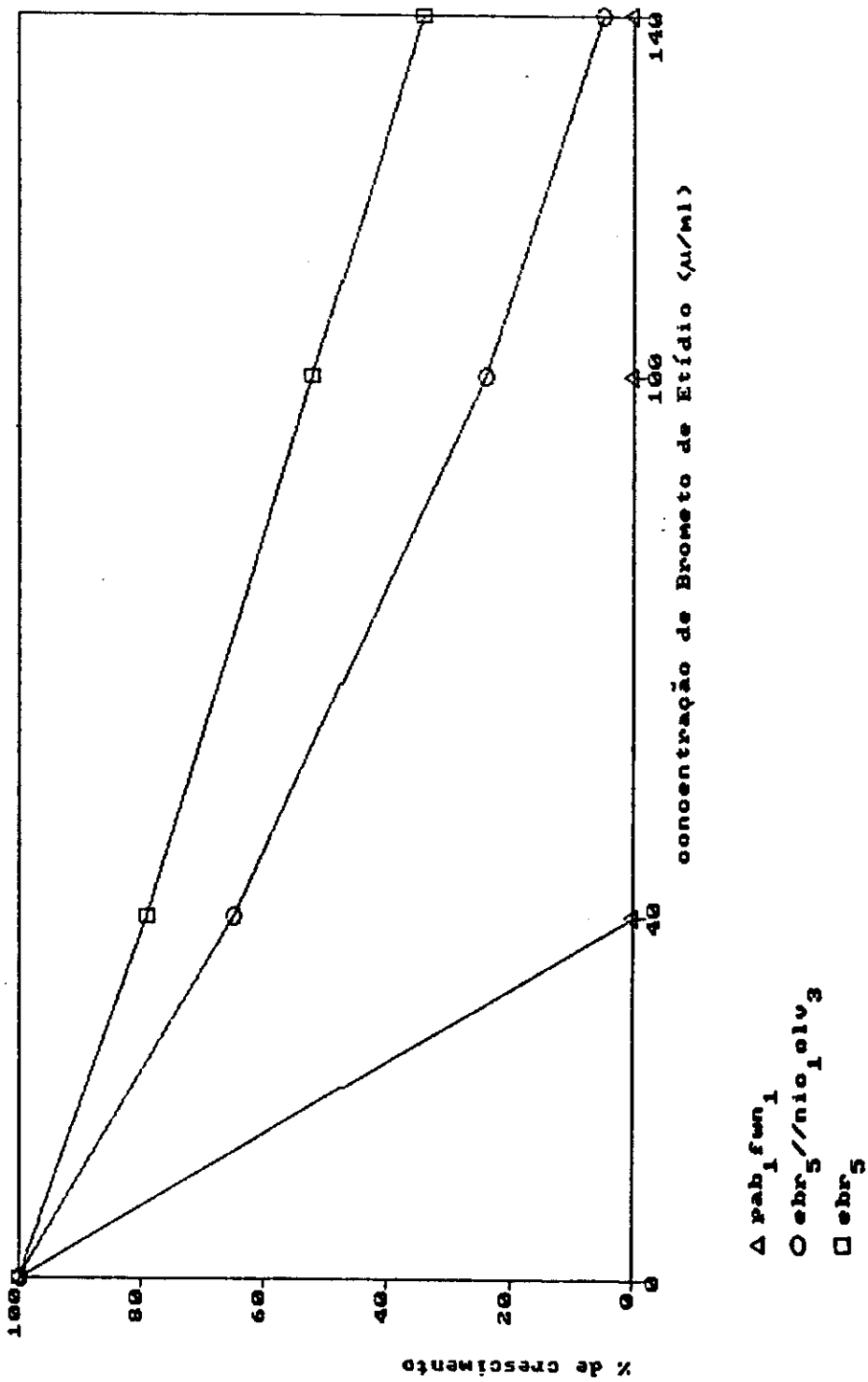
Observa-se que o mutante resistente ebr₅ teve seu crescimento reduzido para 79% na concentração de 40 µg/ml de Brometo de Etídio, e de 52 e 34% nas concentrações de 100 e 140 µg/ml respectivamente. O parental pab₁fn₁ teve seu crescimento reduzido a zero na concentração de 40 µg/ml. O diplóide ebr₅ // nic₁olv₃, entretanto, parece ter características intermediárias (FIGURA 2).

TABELA 10 Tamanho da colônia e porcentagem de crescimento nas diferentes concentrações de Brometo de Etídio.

Concen- tração (μ g/ml)	<u>pab</u> <u>1</u> tamanho (cm)	<u>fn</u> <u>1</u> %	<u>ebr</u> <u>5</u> tamanho (cm)	<u>%</u>	<u>ebr</u> <u>5</u> <u>//nic</u> <u>1</u> <u>olv</u> <u>3</u> tamanho (cm)	<u>%</u>
0	2,25	100	2,22	100	2,27	100
40	-	0	1,75	79	1,49	65
100	-	0	1,16	52	0,55	24
140	-	0	0,77	34	0,12	5

- ausência de crescimento

FIGURA II Porcentagem de crescimento do mutante resistente, do Parental sensível e da diploide nas diferentes concentrações de Brometo de Etídio.



4.11. Obtenção e Caracterização de Diplóides

Todos os mutantes auxotróficos e de resistência obtidos, foram cruzados com a linhagem nic₁olv₃, segundo a metodologia descrita no ítem 3.8.1.. Foram cruzados também os segregantes lys₁nic₁ (segregante número 46 do diplóide lys₁//nic₁olv₃) com a linhagem arg₁; o segregante met₁nic₁ (segregante número 37 do diplóide met₁//nic₁olv₃) com o segregante arg₁lys₁ (segregante número 11 do diplóide arg₁//lys₁nic₁), segundo a mesma metodologia (ítem 3.8.1.).

Os diplóides obtidos foram caracterizados conforme descrito no ítem 3.8.2., e os resultados estão relacionados na TABELA 11. Na TABELA 12 estão as siglas usadas para os diplóides.

Verifica-se (TABELA 11) que todos os diplóides se encontram dentro dos padrões de caracterização de linhagem 2n descrito no ítem 3.8.2..

Após caracterização, estes foram tratados segundo a metodologia descrita no ítem 3.9. para se obter segregantes, com o objetivo de se estudar a segregação das marcas genéticas envolvidas nos cruzamentos.

TABELA 11 Caracterização dos Diploídes.

Linhagens Haploides	Coloração de Conídios	Segregação **	Diâmetro de conídios (μ)	Relação 2n/parental
1-pab fm 1	marrom claro	-	4,47	
2-nic oly 3	verde oliva	-	4,76	
3-mgr 2	marrom claro	-	4,53	
4-ebr 5	marrom claro	-	4,93	
5-lys 1	marrom claro	-	4,65	
6-tio 1	marrom claro	-	4,59	
7-mys 1	marrom claro	-	4,65	
8-met 1	marrom claro	-	4,39	
9-pur 1	marrom claro	-	4,39	
10-arg 1	marrom claro	-	4,42	
11-lys nic 1	verde oliva	-	4,65	
12-arg lys 1	marrom claro	-	4,19	
13-met nic	verde oliva	-	4,79	
Cruzamentos				
1x2*	preto	+	5,58	Primo Segundo parental parental
3x2	preto	+	5,49	1,25 1,17
4x2	preto	+	6,18	1,25 1,30
5x2	preto	+	5,85	1,26 1,23
6x2	preto	+	6,53	1,42 1,37
7x2	preto	+	5,45	1,17 1,14
8x2	preto	+	5,72	1,30 1,20
9x2	preto	+	5,72	1,30 1,20
10x2	preto	+	6,12	1,38 1,28
10X11	preto	+	5,91	1,33 1,27
12X13	preto	+	5,85	1,39 1,22

* simbologia dos diplóides TABELA 12

** para condições ver item 3.8.2.

TABELA 12 Símbolos dos diploídeos.

Cruzamentos	Símbolo
1x2	<u>pab</u> ₁ <u>fwn</u> ₁ // <u>nic</u> ₁ <u>olv</u> ₃
3x2	<u>mgr</u> ₂ // <u>nic</u> ₁ <u>olv</u> ₃
4x2	<u>ebr</u> ₅ // <u>nic</u> ₁ <u>olv</u> ₃
5x2	<u>lys</u> ₁ // <u>nic</u> ₁ <u>olv</u> ₃
6x2	<u>tio</u> ₁ // <u>nic</u> ₁ <u>olv</u> ₃
7x2	<u>mys</u> ₁ // <u>nic</u> ₁ <u>olv</u> ₃
8x2	<u>met</u> ₁ // <u>nic</u> ₁ <u>olv</u> ₃
9x2	<u>pur</u> ₁ // <u>nic</u> ₁ <u>olv</u> ₃
10x2	<u>arg</u> ₁ // <u>nic</u> ₁ <u>olv</u> ₃
10x11	<u>arg</u> ₁ // <u>lys</u> ₁ <u>nic</u> ₁
12x13	<u>arg</u> ₁ <u>lys</u> ₁ // <u>met</u> ₁ <u>nic</u> ₁

4.11.1. Díplóide mgr₂ // nic₁ olv₃

Foram obtidos 50 segregantes através da metodologia descrita no item 3.9.1.(MC + Benlate), caracterizados segundo o item 3.9.2. e os resultados estão na TABELA 13.

Através dos dados da TABELA 13 foi feita a análise mitótica (TABELA 14) que mostra que os genes mgr₂, olv₃, nic₁ e fun₁ devem estar no mesmo grupo de ligação.

4.11.2. Díplóide ebr₅ // nic₁ olv₃

Foram obtidos 50 segregantes através da metodologia descrita no item 3.9.1.(MC + Benlate), caracterizados segundo o item 3.9.2. e os resultados estão na TABELA 15

Através dos dados da TABELA 15 foi feita a análise mitótica (TABELA 16) que mostra que os genes ebr₅, olv₃, nic₁ e fun₁ devem estar no mesmo grupo de ligação.

TABELA 13 Marcas auxotróficas, morfológicas e de resistência ao Verde Malaquita dos segregantes do diplóide

mgr₂ // nic₁ olv₃.

SEGREGANTE	pab	nic	mgr	COR	SEGREGANTE	pab	nic	mgr	COR
01	-	+	+	fwn	26	-	-	-	olv
02	-	+	+	fwn	27	+	-	-	olv
03	+	+	+	fwn	28	-	-	-	olv
04	-	+	+	fwn	29	-	-	-	olv
05	-	+	+	fwn	30	+	-	-	olv
06	+	+	+	fwn	31	+	-	-	olv
07	+	+	+	fwn	32	+	-	-	olv
08	-	+	+	fwn	33	+	-	-	olv
09	+	+	+	fwn	34	+	-	-	olv
10	-	+	+	fwn	35	+	-	-	olv
11	+	+	+	fwn	36	+	-	-	olv
12	+	+	+	fwn	37	-	-	-	olv
13	-	+	+	fwn	38	-	-	-	olv
14	+	+	+	fwn	39	-	-	-	olv
15	+	+	+	fwn	40	+	-	-	olv
16	+	+	+	fwn	41	+	-	-	olv
17	+	+	+	fwn	42	+	-	-	olv
18	+	+	+	fwn	43	+	-	-	olv
19	+	+	+	fwn	44	+	-	-	olv
20	+	+	+	fwn	45	+	-	-	olv
21	+	+	+	fwn	46	+	-	-	olv
22	+	+	+	fwn	47	-	-	-	olv
23	+	+	+	fwn	48	+	-	-	olv
24	+	+	+	fwn	49	+	-	-	olv
25	+	+	+	fwn	50	+	-	-	olv

TABELA 14 Análise Mitótica do diplóide

mgr₂ // nic₁ olv₃.

PARENTAIS: mgr₂ nic₁ olv₃ pab⁺ nic⁺ fwn⁻ olv⁺ mgr⁺
nic₁ olv₃ pab⁺ nic⁻ fwn⁻ olv⁺ mgr⁻

	pab ⁺	pab ⁻		pab ⁺	pab ⁻
<u>mgr</u> ⁺	18	7	<u>fwn</u> ⁺	18	7
<u>mgr</u> ⁻	18	7	<u>fwn</u> ⁻	18	7
	fwn ⁺	fwn ⁻		olv ⁺	olv ⁻
<u>mgr</u> ⁺	9	25	<u>nic</u> ⁺	25	0
<u>mgr</u> ⁻	25	9	<u>nic</u> ⁻	0	25
	olv ⁺	olv ⁻		pab ⁺	pab ⁻
<u>mgr</u> ⁺	25	9	<u>nic</u> ⁺	18	7
<u>mgr</u> ⁻	9	25	<u>nic</u> ⁻	18	7
	nic ⁺	nic ⁻		fwn ⁺	fwn ⁻
<u>mgr</u> ⁺	25	9	<u>nic</u> ⁺	9	25
<u>mgr</u> ⁻	9	25	<u>nic</u> ⁻	25	0
	pab ⁺	pab ⁻			
<u>olv</u> ⁺	18	7			
<u>olv</u> ⁻	18	7			

Total de 50 segregantes.

TABELA 15 Marcas auxotróficas, morfológicas e de resistência ao Brometo de Etídio dos segregantes do diploíde

ebr₅ // nic₁ olv₃.

SEGREGANTE	pab	nic	ebr	COR	SEGREGANTE	pab	nic	ebr	COR
01	+	+	+	fwn	26	+	-	-	olv
02	-	+	+	fwn	27	+	-	-	olv
03	+	+	+	fwn	28	-	-	-	olv
04	+	+	+	fwn	29	-	-	-	olv
05	+	+	+	fwn	30	-	-	-	olv
06	-	+	+	fwn	31	+	-	-	olv
07	-	+	+	fwn	32	-	-	-	olv
08	+	+	+	fwn	33	-	-	-	olv
09	-	+	+	fwn	34	-	-	-	olv
10	-	+	+	fwn	35	-	-	-	olv
11	+	+	+	fwn	36	+	-	-	olv
12	+	+	+	fwn	37	+	-	-	olv
13	-	+	+	fwn	38	-	-	-	olv
14	-	+	+	fwn	39	+	-	-	olv
15	-	+	+	fwn	40	-	-	-	olv
16	-	+	+	fwn	41	+	-	-	olv
17	-	+	+	fwn	42	-	-	-	olv
18	+	+	+	fwn	43	+	-	-	olv
19	+	+	+	fwn	44	+	-	-	olv
20	-	+	+	fwn	45	+	-	-	olv
21	-	+	+	fwn	46	+	-	-	olv
22	-	+	+	fwn	47	-	-	-	olv
23	-	+	+	fwn	48	+	-	-	olv
24	-	+	+	fwn	49	+	-	-	olv
25	+	+	+	fwn	50	+	-	-	olv

TABELA 16 Análise Mitótica do diploíde

ebr₅ // nic₁ olv₃.

PARENTAIS: ebr₅ pab⁺ nic⁺ fwn⁻ olv⁻ ebr⁺
nic₁ olv₃ pab⁻ nic⁻ fwn⁺ olv⁺ ebr⁻

ebr ⁺	pab ⁺	pab ⁻	fwn ⁺	fwn ⁺	fwn ⁻	olv ⁺	olv ⁺	olv ⁻
	10	15		14	11		25	8
ebr ⁻	14	11	fwn ⁻	18	15		8	25
ebr ⁺	fun ⁺	fun ⁻	nic ⁺	nic ⁺	nic ⁻	nic ⁺	nic ⁺	nic ⁻
	8	25		25	8		8	25
ebr ⁻	25	8	nic ⁻	14	11			
ebr ⁺	olv ⁺	olv ⁻	pab ⁺	pab ⁺	pab ⁻	fwn ⁺	fwn ⁺	fwn ⁻
	25	8		10	15		8	25
ebr ⁻	8	25	nic ⁻	14	11			
ebr ⁺	nic ⁺	nic ⁻	nic ⁺	nic ⁺	nic ⁻	fwn ⁺	fwn ⁺	fwn ⁻
	25	8		8	25		25	8
ebr ⁻	8	25	nic ⁻	25	8			
olv ⁺	pab ⁺	pab ⁻	olv ⁺	olv ⁺	olv ⁻	pab ⁺	pab ⁺	pab ⁻
	10	15		14	11			
olv ⁻	14	11						

Total de 50 segregantes

4.11.3. Dípoloide lys₁ // nic₁ olv₃

Foram obtidos 50 segregantes através da metodologia descrita no item 3.9.1.(MC + Benlate), caracterizados segundo o item 3.9.2. e os resultados estão na TABELA 17.

Através dos dados da TABELA 17 foi feita a análise mitótica (TABELA 18) que mostra que o gene lys₁ não deve estar ligado aos demais genes envolvidos no cruzamento.

4.11.4. Dípoloide tio₁ // nic₁ olv₃

Foram obtidos 50 segregantes através da metodologia descrita no item 3.9.1.(MC + Benlate), caracterizados segundo o item 3.9.2. e os resultados estão na TABELA 19.

Através dos dados da TABELA 19 foi feita a análise mitótica (TABELA 20) que mostra que os genes tio₁, nic₁, olv₃ e fwn₁ devem estar no mesmo grupo de ligação.

TABELA 17 Marcas auxotróficas e morfológicas dos segregantes do diplóide
lys₁ // nic₁ olv₃.

SEGREGANTE	pab	nic	lys	COR	SEGREGANTE	pab	nic	lys	COR
01	-	+	+	fwn	26	+	-	+	olv
02	-	+	+	fwn	27	+	-	+	olv
03	+	+	-	fwn	28	+	-	-	olv
04	-	+	+	fwn	29	+	-	-	olv
05	+	+	-	fwn	30	-	-	-	olv
06	+	+	+	fwn	31	+	-	+	olv
07	+	+	-	fwn	32	+	-	+	olv
08	+	+	+	fwn	33	+	-	+	olv
09	+	+	-	fwn	34	+	-	-	olv
10	-	+	+	fwn	35	+	-	+	olv
11	-	+	+	fwn	36	+	-	+	olv
12	-	+	+	fwn	37	+	-	+	olv
13	+	+	+	fwn	38	+	-	-	olv
14	+	+	-	fwn	39	-	-	-	olv
15	+	+	-	fwn	40	+	-	+	olv
16	+	+	+	fwn	41	+	-	+	olv
17	+	+	+	fwn	42	+	-	-	olv
18	+	+	-	fwn	43	-	-	-	olv
19	+	+	-	fwn	44	+	-	+	olv
20	+	+	+	fwn	45	+	-	-	olv
21	+	+	-	fwn	46	+	-	-	olv
22	+	+	-	fwn	47	+	-	+	olv
23	+	+	+	fwn	48	-	-	+	olv
24	-	+	+	fwn	49	+	-	+	olv
25	+	+	-	fwn	50	+	-	+	olv

TABELA 18 Análise Mitótica do diplóide

lys₁ // nic₁ olv₃.

PARENTAIS: lys₁ nic₁ olv₃ pab nic fwn olv lys⁺
lys₁ nic₁ olv₃ pab nic fwn olv lys⁺

	pab	pab		pab	pab
lys ⁺	21	8	lys ⁺	21	4
lys ⁻	18	3	fwn ⁻	18	7

	fwn	fwn		olv	olv
lys ⁺	15	14	nic ⁺	25	0
lys ⁻	18	11	nic ⁻	0	25

	olv	olv		pab	pab
lys ⁺	14	15	nic ⁺	18	7
lys ⁻	11	18	nic ⁻	21	4

	nic	nic		fwn	fwn
lys ⁺	14	15	nic ⁺	0	25
lys ⁻	11	18	nic ⁻	25	0

	pab	pab
olv ⁺	18	7
olv ⁻	21	4

Total de 50 segregantes



CAMP

TABELA 19 Marcas auxotróficas e morfológicas dos segregantes do diplóide
tio₁ // nic₁ olv₃

SEGREGANTE	pab	nic	tio	COR	SEGREGANTE	pab	nic	tio	COR
GANTINE	+	-	-	fun	26	+	-	+	oliv
01	+	+	+	fun	26	+	-	+	oliv
02	+	+	-	fun	27	-	-	+	oliv
03	+	+	-	fun	28	-	-	+	oliv
04	+	+	-	fun	29	+	-	+	oliv
05	+	+	-	fun	30	-	-	+	oliv
06	+	+	-	fun	31	-	-	+	oliv
07	+	+	-	fun	32	+	-	-	oliv
08	+	+	-	fun	33	-	-	+	oliv
09	-	+	-	fun	34	-	-	+	oliv
10	-	+	-	fun	35	-	-	+	oliv
11	-	+	-	fun	36	+	-	-	oliv
12	+	+	-	fun	37	+	-	+	oliv
13	+	+	-	fun	38	+	-	+	oliv
14	-	+	-	fun	39	+	-	+	oliv
15	+	+	-	fun	40	+	-	+	oliv
16	+	+	-	fun	41	-	-	+	oliv
17	+	+	-	fun	42	-	-	-	oliv
18	+	+	-	fun	43	-	-	-	oliv
19	-	+	-	fun	44	+	+	+	oliv
20	+	+	-	fun	45	+	-	+	oliv
21	+	+	-	fun	46	+	-	+	oliv
22	+	+	-	fun	47	+	-	+	oliv
23	-	+	-	fun	48	+	-	+	oliv
24	+	+	-	fun	49	-	-	+	oliv
25	-	+	-	fun	50	-	-	+	oliv

TABELA 20 Análise Mitótica do diplóide

tio₁ // nic₁ olv₃

PARENTAIS: **tio₁** pab⁺ nic⁻ fun⁻ olv⁺ tio⁻
nic₁ pab⁻ nic⁺ fun⁺ olv⁻ tio⁺
olv₃ pab⁻ nic⁻ fun⁻ olv⁻ tio⁻

		pab ⁺	pab ⁻			pab ⁺	pab ⁻
tio ⁺		11	11	tio ⁻		13	12
		fwn ⁺	fwn ⁻			olv ⁺	olv ⁻
tio ⁺		21	1	nic ⁺		25	1
tio ⁻		4	24	nic ⁻		0	24
		olv ⁺	olv ⁻			pab ⁺	pab ⁻
tio ⁺		1	21	nic ⁺		19	7
tio ⁻		24	4	nic ⁻		12	12
		nic ⁺	nic ⁻			fwn ⁺	fwn ⁻
tio ⁺		2	28	nic ⁺		1	25
tio ⁻		24	4	nic ⁻		24	0
		pab ⁺	pab ⁻				
olv ⁺		18	7				
olv ⁻		13	12				

Total de 50 segregantes

4.11.5. Dípoloide mys₁ // nic₁ olv₃

Foram obtidos 50 segregantes através da metodologia descrita no ítem 3.9.1.(MC + Benlate), caracterizados segundo o ítem 3.9.2. e os resultados estão na TABELA 21.

Através dos dados da TABELA 21 foi feita a análise mitótica (TABELA 22) que mostra que os genes mys₁, nic₁, olv₃ e fn_n₁ devem estar no mesmo grupo de ligação.

4.11.6. Dípoloide met₁ // nic₁ olv₃

Foram obtidos 50 segregantes através da metodologia descrita no ítem 3.9.1.(25 segregantes fn em MC + Benlate e 25 segregantes olv em MM + Benlate + requerimentos nutricionais), caracterizados segundo o ítem 3.9.2. e os resultados estão na TABELA 23.

Através dos dados da TABELA 23 foi feita a análise mitótica (TABELA 24) que mostra que o gene met₁ não deve estar ligado aos demais genes envolvidos no cruzamento.

TABELA 21 Marcas auxotróficas e morfológicas
dos segregantes do diplóide
mys₁/nic₁olv₃

SEGREGANTE	pab	nic	mys	COR	SEGREGANTE	pab	nic	mys	COR
01	-	+	-	fwn	26	-	-	-	olv
02	+	+	-	fwn	27	+	-	-	olv
03	+	+	-	fwn	28	-	-	+	olv
04	-	+	-	fwn	29	+	-	+	olv
05	+	+	-	fwn	30	+	-	+	olv
06	+	+	-	fwn	31	-	-	+	olv
07	-	+	-	fwn	32	+	-	+	olv
08	-	+	-	fwn	33	+	-	+	olv
09	+	+	-	fwn	34	+	-	+	olv
10	-	+	-	fwn	35	-	-	+	olv
11	+	+	-	fwn	36	+	-	-	olv
12	+	+	-	fwn	37	+	-	+	olv
13	+	+	-	fwn	38	+	-	+	olv
14	+	+	-	fwn	39	+	-	+	olv
15	-	+	-	fwn	40	+	-	+	olv
16	-	+	-	fwn	41	+	-	+	olv
17	+	+	-	fwn	42	-	-	+	olv
18	+	+	-	fwn	43	+	-	+	olv
19	+	+	-	fwn	44	-	-	+	olv
20	+	+	-	fwn	45	-	-	+	olv
21	-	+	-	fwn	46	-	-	+	olv
22	+	+	-	fwn	47	+	-	+	olv
23	+	+	-	fwn	48	+	-	+	olv
24	+	+	-	fwn	49	-	-	+	olv
25	+	+	-	fwn	50	+	-	+	olv

TABELA 22 Análise Mitótica do diplóide

mys₁/nic₁olv₃.

PARENTAIS: mys₁/nic₁olv₃

	pab	+	pab	-		pab	+	pab	-
mys +	14		8		fwn +	16		9	
mys -	19		9		fwn -	17		8	
	fwn	+	fwn	-		olv	+	olv	-
mys +	22		8		nic +	25		8	
mys -	3		25		nic -	9		25	
	olv	+	olv	-		pab	+	pab	-
mys +	8		22		nic +	17		8	
mys -	25		3		nic -	16		9	
	nic	+	nic	-		fwn	+	fwn	-
mys +	8		22		nic +	8		25	
mys -	25		3		nic -	25		8	
	pab	+	pab	-					
olv +	17		8						
olv -	16		9						

Total de 50 segregantes

TABELA 23 Marcas auxotróficas e morfológicas dos segregantes do diploide
 $\underline{\text{met}}_1 / \underline{\text{nic}}_1 \underline{\text{olv}}_3$

SEGREGANTE	pab	nic	met	COR	SEGREGANTE	pab	nic	met	COR
	+	+	-	fun	26	-	-	+	olv
27	+	+	-	fun	27	+	-	+	olv
28	+	+	+	fun	28	+	-	+	olv
29	-	+	+	fun	29	+	-	+	olv
30	-	+	-	fun	30	-	-	+	olv
31	+	+	+	fun	31	+	-	+	olv
32	+	+	-	fun	32	+	-	+	olv
33	-	+	+	fun	33	+	-	+	olv
34	+	+	-	fun	34	+	-	+	olv
35	-	+	+	fun	35	+	-	+	olv
36	+	+	+	fun	36	+	-	+	olv
37	-	+	+	fun	37	+	-	-	olv
38	-	+	+	fun	38	+	-	+	olv
39	-	+	-	fun	39	+	-	+	olv
40	-	+	+	fun	40	+	-	+	olv
41	+	+	+	fun	41	-	-	+	olv
42	-	+	-	fun	42	+	-	+	olv
43	-	+	-	fun	43	-	-	+	olv
44	+	+	-	fun	44	+	-	+	olv
45	+	+	+	fun	45	+	-	+	olv
46	+	+	+	fun	46	+	-	+	olv
47	+	+	+	fun	47	+	-	+	olv
48	-	+	+	fun	48	-	-	+	olv
49	+	+	+	fun	49	+	-	+	olv
50	-	+	-	fun	50	+	-	+	olv

TABELA 24 Análise Mitótica do diploide
 $\underline{\text{met}}_1 / \underline{\text{nic}}_1 \underline{\text{olv}}_3$

PARENTAIS: $\frac{\text{met}}{\text{nic}}_1 \frac{-}{\text{olv}}_3$

	pab	+	pab	-		pab	+	pab	-		
met +	27	12	fun +	20	5	nic +	25	0	olv +	13	12
met -	6	5	fun -	13	12	nic -	0	25	olv -	1	19
	fun	+	fun	-		oliv	+	oliv	-		
met +	24	15	nic +	13	12	oliv +	15	24	pab +	10	1
met -	1	19	nic -	20	5	oliv -	25	0	pab -	15	24
	oliv	+	oliv	-							
met +	15	24	nic +	0	25	oliv +	13	12			
met -	10	1	nic -	25	0	oliv -	20	5			
	nic	+	nic	-		fun	+	fun	-		
met +	15	24	nic +	0	25	oliv +	13	12			
met -	10	1	nic -	25	0	oliv -	20	5			
						pab	+	pab	-		
oliv +	13	12									
oliv -	20	5									

Total de 58 segregantes

4.11.7. Dípoloide arg₁//nic₁,olv₃

Foram obtidos 50 segregantes através da metodologia descrita no ítem 3.9.1.(25 segregantes olv em MM + Benlate + requerimentos nutricionais e 25 fwn em MC + Benlate), caracterizados segundo o ítem 3.9.2. e os resultados estão na TABELA 25.

Através dos dados da TABELA 25 foi feita a análise mitótica (TABELA 26) que mostra que o gene arg₁ não deve estar ligado aos demais genes envolvidos no cruzamento.

4.11.8. Dípoloide arg₁//lys₁,nic₁

Foram obtidos 50 segregantes através da metodologia descrita no ítem 3.9.1.(25 segregantes fwn em MC + Benlate e 25 segregantes olv em MM + Benlate + requerimentos nutricionais), caracterizados segundo o ítem 3.9.2. e os resultados estão na TABELA 27.

Através da TABELA 27 foi feita a análise mitótica (TABELA 28) que mostra que os genes arg₁ e lys₁ não devem estar no mesmo grupo de ligação.



AMP

TABELA 25 Marcas auxotróficas e morfológicas dos segregantes do diplóide
arg₁ // nic₁ olv₃

SEGRE GANTE	pab	nic	arg	COR	SEGRE GANTE	pab	nic	arg	COR
81	-	+	+	fwn	26	+	-	+	olv
82	+	+	+	fwn	27	+	-	+	olv
83	+	+	+	fwn	28	+	-	+	olv
84	+	+	-	fwn	29	-	-	+	olv
85	-	+	+	fwn	30	-	-	+	olv
86	+	+	+	fwn	31	-	-	+	olv
87	-	+	+	fwn	32	-	-	+	olv
88	+	+	+	fwn	33	-	-	+	olv
89	-	+	+	fwn	34	-	-	+	olv
10	+	+	+	fwn	35	+	-	+	olv
11	-	+	+	fwn	36	-	-	+	olv
12	-	+	+	fwn	37	+	-	+	olv
13	+	+	+	fwn	38	-	-	+	olv
14	-	+	+	fwn	39	-	-	+	olv
15	+	+	-	fwn	40	-	-	+	olv
16	+	+	+	fwn	41	-	-	+	olv
17	+	+	+	fwn	42	+	-	+	olv
18	-	+	-	fwn	43	-	-	+	olv
19	+	+	-	fwn	44	+	-	+	olv
20	-	+	-	fwn	45	+	-	+	olv
21	-	+	-	fwn	46	+	-	+	olv
22	-	+	-	fwn	47	-	-	+	olv
23	-	+	-	fwn	48	-	-	+	olv
24	+	+	+	fwn	49	+	-	+	olv
25	-	+	+	fwn	50	-	-	+	olv

TABELA 26 Análise Mitótica do diplóide
arg₁ // nic₁ olv₃.

PARENTAIS: arg₁
nic₁ olv₃

	<u>pab</u> ⁺	<u>pab</u> ⁻		<u>pab</u> ⁺	<u>pab</u> ⁻
<u>arg</u> ⁺	19	23	<u>fun</u> ⁺	18	15
<u>arg</u> ⁻	3	5	<u>fun</u> ⁻	12	13
	<u>fun</u> ⁺	<u>fun</u> ⁻		<u>olv</u> ⁺	<u>olv</u> ⁻
<u>arg</u> ⁺	25	17	<u>nic</u> ⁺	25	0
<u>arg</u> ⁻	0	8	<u>nic</u> ⁻	0	25
	<u>olv</u> ⁺	<u>olv</u> ⁻		<u>pab</u> ⁺	<u>pab</u> ⁻
<u>arg</u> ⁺	17	25	<u>nic</u> ⁺	12	13
<u>arg</u> ⁻	8	0	<u>nic</u> ⁻	18	15
	<u>nic</u> ⁺	<u>nic</u> ⁻		<u>fun</u> ⁺	<u>fun</u> ⁻
<u>arg</u> ⁺	17	25	<u>nic</u> ⁺	0	25
<u>arg</u> ⁻	8	0	<u>nic</u> ⁻	25	0
	<u>pab</u> ⁺	<u>pab</u> ⁻		<u>olv</u> ⁺	<u>olv</u> ⁻
<u>olv</u> ⁺	12	13	<u>olv</u> ⁻	18	15

Total de 50 segregantes

TABELA 27 Marcas auxotróficas e morfológicas
dos segregantes do diplóide
 $\underline{\text{arg}}_1 // \underline{\text{lys}}_1 \underline{\text{nic}}_1$.

SEGREGANTE	pab				nic				arg				lys				COR	SEGREGANTE	pab				nic				arg				lys				COR
	+	-	+	-	+	-	+	-	+	-	+	-	+	-	+	-			+	-	+	-	+	-	+	-	+	-	+	-	+	-	+	-	
81	-	+	+	-	+	-	+	-	fun	26	+	-	+	+	+	-	olv																		
82	+	+	-	-	-	-	fun	27	+	-	+	+	+	-	+	-	olv																		
83	-	+	-	-	+	-	fun	28	+	-	+	+	+	-	+	-	olv																		
84	+	+	+	-	-	-	fun	29	-	-	+	+	+	-	+	-	olv																		
85	+	+	+	-	-	-	fun	30	-	-	+	+	+	-	+	-	olv																		
86	-	+	-	-	+	-	fun	31	-	-	+	-	+	-	+	-	olv																		
87	-	+	+	-	-	-	fun	32	-	-	+	+	+	-	+	-	olv																		
88	+	+	+	-	-	-	fun	33	+	-	+	+	+	-	+	-	olv																		
89	+	+	-	-	-	-	fun	34	+	-	+	+	+	-	+	-	olv																		
90	+	+	+	-	-	-	fun	35	-	-	+	+	+	-	+	-	olv																		
11	-	+	-	-	-	-	fun	36	+	-	+	+	+	-	+	-	olv																		
12	+	+	-	-	-	-	fun	37	-	-	+	-	+	-	+	-	olv																		
13	+	+	-	-	-	-	fun	38	-	-	+	+	+	-	+	-	olv																		
14	-	+	+	-	-	-	fun	39	+	-	+	+	+	-	+	-	olv																		
15	-	+	-	-	-	-	fun	40	+	-	+	+	+	-	+	-	olv																		
16	-	+	-	+	-	-	fun	41	+	-	+	+	+	-	+	-	olv																		
17	-	+	+	+	-	-	fun	42	+	-	+	+	+	-	+	-	olv																		
18	+	+	-	-	-	-	fun	43	+	-	+	+	+	-	+	-	olv																		
19	-	+	-	+	-	-	fun	44	+	-	+	+	+	-	+	-	olv																		
20	+	+	+	-	-	-	fun	45	+	-	+	+	+	-	+	-	olv																		
21	+	+	-	+	-	-	fun	46	+	-	+	+	+	-	+	-	olv																		
22	+	+	+	-	-	-	fun	47	+	-	+	+	+	-	+	-	olv																		
23	-	+	+	+	-	-	fun	48	-	-	+	+	+	-	+	-	olv																		
24	+	+	+	-	-	-	fun	49	+	-	+	+	+	-	+	-	olv																		
25	+	+	+	-	-	-	fun	50	+	-	+	+	+	-	+	-	olv																		

TABELA 28 Análise Mitótica do diplóide

$\underline{\text{arg}}_1 // \underline{\text{lys}}_1 \underline{\text{nic}}_1$.
PARENTAIS: $\frac{\text{arg}_1}{\text{lys}_1 \text{ nic}_1}$ $\frac{- + - +}{+ - + -} \frac{\text{pab} \text{ nic} \text{ fun} \text{ olv}}{\text{pab} \text{ nic} \text{ fun} \text{ olv}}$ $\frac{- + - +}{+ - + -} \frac{\text{arg} \text{ lys}^-}{\text{lys}^+}$

	pab	pab		pab	pab
arg ⁺	25	13	lys ⁺	19	13
arg ⁻	6	6	lys ⁻	12	6

	fun	fun		fun	fun
arg ⁺	25	13	lys ⁺	23	9
arg ⁻	0	12	lys ⁻	2	16

	arg	arg
lys ⁺	27	5
lys ⁻	11	7

4.11.9. Diploide arg₁lys₁//met₁nic₁

Foram obtidos 50 segregantes através da metodologia descrita no item 3.9.1.(MC + Benlate), caracterizados segundo o item 3.9.2. e os resultados estão na TABELA 29

Através dos dados da TABELA 29 foi feita a análise mitótica (TABELA 30) que mostra que os genes arg₁ e met₁ devem estar no mesmo grupo de ligação.

4.11.10. Recombinação genética entre marcas nos cruzamentos estudados

A TABELA 31 mostra, para cada combinação de marcas em todos os cruzamentos, o número de segregantes do tipo parental e recombimante. Pode-se verificar a ligação das marcas olv₃, nic₁, fwn₁, mgr₂, tio₁, ebr₅ e mys₁ e das marcas arg₁ e met₁. Verifica-se também que as genes pab₁ e lys₁ não estão ligadas aos demais genes estudados.

TABELA 29 Marcas auxotróficas e morfológicas
dos segregantes do diplóide
 $\frac{\text{arg}}{1} \frac{\text{lys}}{1} // \frac{\text{met}}{1} \frac{\text{nic}}{1}$

SEGRE GANTE	pab	nic	arg	lys	met	COR	SEGRE GANTE	pab	nic	arg	lys	met	COR
01	+	+	+	-	+	fun	26	+	+	+	-	-	fun
02	-	+	-	+	+	fun	27	+	+	+	+	-	fun
03	+	+	-	+	+	fun	28	+	+	-	-	+	fun
04	-	+	+	+	-	fun	29	-	+	+	-	-	fun
05	+	+	-	+	+	fun	30	-	+	+	+	-	fun
06	+	+	-	+	+	fun	31	-	+	+	+	-	fun
07	-	+	+	-	-	fun	32	-	+	+	+	-	fun
08	-	+	-	+	+	fun	33	+	+	+	-	-	fun
09	-	+	-	+	+	fun	34	+	+	+	-	-	fun
10	+	+	+	+	-	fun	35	-	+	-	+	+	fun
11	+	+	+	-	+	fun	36	-	+	+	+	-	fun
12	-	+	+	+	+	fun	37	-	+	-	-	+	fun
13	+	+	+	-	-	fun	38	-	+	-	+	+	fun
14	-	+	-	+	+	fun	39	+	+	+	-	-	fun
15	+	+	-	+	+	fun	40	+	+	-	-	+	fun
16	+	+	-	-	+	fun	41	-	+	+	-	+	fun
17	-	+	+	+	-	fun	42	-	+	-	+	+	fun
18	+	+	+	+	-	fun	43	+	+	+	-	-	fun
19	-	+	+	+	-	fun	44	+	+	+	-	+	fun
20	-	+	-	+	+	fun	45	-	+	+	+	-	fun
21	+	+	-	+	+	fun	46	+	+	+	+	-	fun
22	+	+	-	-	+	fun	47	+	+	+	+	-	fun
23	+	+	-	-	+	fun	48	+	+	+	+	-	fun
24	-	+	-	+	+	fun	49	+	+	+	-	-	fun
25	+	+	+	+	-	fun	50	-	-	+	+	-	olv

TABELA 30 Análise Mitótica do diplóide

$\frac{\text{arg}}{1} \frac{\text{lys}}{1} // \frac{\text{met}}{1} \frac{\text{nic}}{1}$

PARENTESES

$\frac{\text{arg}}{1} \frac{\text{lys}}{1} :$ pab nic fun olv arg lys met - +
 $\frac{\text{met}}{1} \frac{\text{nic}}{1} :$ pab nic fun olv arg lys met - +

	lys		arg		
	+	-	+	-	
met +	15	10	lys +	17	14
met -	16	9	lys -	13	6

	arg	
	+	-
met +	5	28
met -	25	0

TABELA 31 Resultados combinados de recombinação genética entre marcas nos cruzamentos estudados.

	<u>nic</u> ₁	<u>met</u> ₁	<u>arg</u> ₁	<u>ngr</u> ₂	<u>ebr</u> ₅	<u>tio</u> ₁	<u>mys</u> ₁	<u>lys</u> ₁	<u>fun</u> ₁	<u>olv</u> ₃
	P **	R **	P R							
<u>pab</u> ₁	238	228	58 42	72 78	25 25	29 21	19 31	23 27	65 85	231 219
<u>olv</u> ₃	449	1	60 40	91 59	50 0	50 0	45 5	47 3	65 85	***
<u>fun</u> ₁	449	1	60 40	91 59	50 0	50 0	45 5	47 3	57 93	
<u>lys</u> ₁	85	65	26 24	62 88	---	---	---	---	---	
<u>mys</u> ₁	47	3	-- --	-- --	-- --	-- --	-- --	-- --	-- --	
<u>tio</u> ₁	44	6	-- --	-- --	-- --	-- --	-- --	-- --	-- --	
<u>ebr</u> ₅	50	0	-- --	-- --	-- --	-- --	-- --	-- --	-- --	
<u>ngr</u> ₂	50	0	-- --	-- --	-- --	-- --	-- --	-- --	-- --	
<u>arg</u> ₁	91	59	45 4							
<u>met</u> ₁	60	40								

* segregantes do tipo parental

** segregantes recombinantes

*** cruzamentos não realizados

**** marcas epistáticas

4.12. Produção de Amiloglicosidase

Com o objetivo de se verificar se as mutações introduzidas afetavam a produção da enzima nos mutantes, foram realizados os experimentos como descrito no ítem 3.6., e os resultados analisados segundo o ítem 3.10..

4.12.1. Experimentos 1 e 2.

As TABELAS A1 e A2 do Apêndice de tabelas (Experimentos 1 e 2 respectivamente) mostram os resultados obtidos relativos a produção dos mutantes ebr₅ e tio₁, seus respectivos diplóides, diplóide controle pab₁fnw₁ // nic₁olv₃ (1) (diplóide controle número 1) e respectivos parentais. As análises estatísticas estão nas TABELAS 32 e 33.

Através da TABELA 32 verifica-se que, embora haja interação significativa entre linhagens x Experimentos, isto é, embora o comportamento relativo das linhagens varie significativamente de um experimento para outro, há diferenças gerais de linhagens que se sobrepõem a essas variações, de maneira que se pode indicar linhagens com produção de amiloglicosidase maior ou menor que outras para ambos os experimentos. Assim, na TABELA 33 verifica-se que ambos os mutantes apresentam produção significativamente menor que a linhagem parental pab₁fnw₁, contudo a produção dos diplóides tio₁ // nic₁olv₃ e ebr₅ // nic₁olv₃ não diferem significativamente da linhagem parental

nic₁olv₃, nem da linhagem pab₁fnl₁, sugerindo que as mutações introduzidas nos mutantes afetam a produção e são complementadas nos respectivos diplóides.

O diplóide controle número 1 apresenta produção significativamente menor que todas as demais linhagens testadas.

TABELA 32 Análise de variância dos dados dos Experimentos 1 e 2.

Causa da Variação	Graus de Liberdade	Soma dos Quadrados	Quadrado Médio	F
Experimento	1	2,9	2,9	
Linhagen	6	482,9	80,5	5,7*
Exper. x Linhagen	6	84,8	14,0	4,9**
Resíduo	56	197,3	3,5	
Total	69	767,1		

* significativo a nível de 5%.

** significativo a nível de 1%.

TABELA 33 Comparação das médias pelo teste de Tukey dos dados da TABELA 32.

Linhagens	AG (U/ml)	
<u>pab</u> ₁ <u>fwn</u> ₁	14,1	a
<u>tio</u> ₁ // <u>nic</u> ₁ <u>olv</u> ₃	13,2	a
<u>nic</u> ₁ <u>olv</u> ₃	12,8	a b
<u>ebr</u> ₅ // <u>nic</u> ₁ <u>olv</u> ₃	11,9	a b
<u>ebr</u> ₅	9,9	b
<u>tio</u> ₁	9,1	b
<u>pab</u> ₁ <u>fwn</u> ₁ // <u>nic</u> ₁ <u>olv</u> ₃ (1)	5,7	c

$$DMS_{1\%} = 2,9$$

As médias com as mesmas letras não diferem significativamente a nível de 1%.

4.12.2. Experimentos 3 e 4.

As TABELAS A3 e A4 do Apêndice de tabelas (Experimento 3 e 4 respectivamente) mostram os resultados obtidos de produção do mutante mgr₂, do parental pab₁fn₁, da linhagem nic₁olv₃ e dos diplóides mgr₂"/nic₁olv₃ e pab₁fn₁"/nic₁olv₃ (2)(diplóide controle número 2). As análises estatísticas estão nas TABELAS 34 e 35.

Através da TABELA 34 verifica-se que embora haja um efeito significativo de experimento, isto é, embora o comportamento relativo das linhagens varie de um experimento para outro, há diferenças gerais entre linhagens que se sobreponem às variações entre experimentos, de maneira que se pode indicar linhagens com produção de amiloglicosidase maior ou menor que outras em ambos os experimentos.

Pode-se verificar na TABELA 35 que a produção do mutante mgr₂, parentais e diplóide mgr₂"/nic₁olv₃ não diferem significativamente entre si, sugerindo que a mutação mgr₂ não afeta produção. Por outro lado, o diplóide controle número 2, apresenta produção significativamente maior que as linhagens nic₁olv₃ e mgr₂.

TABELA 34 Análise de variância dos dados dos Experimentos 3 e 4.

Causa da Variação	Graus de Liberdade	Soma dos Quadrados	Quadrado Médio	F
Experimentos	1	36,1	36,1	8,2 **
Linhagem	4	186,8	26,7	6,8 *
Exper. x Linhagem	4	15,8	3,9	
Resíduo	49	177,2	4,4	
Total	49	335,9		

* significativo a nível de 5%.

** significativo a nível de 1%.

TABELA 35 Comparação das médias pelo teste de Tukey dos dados da TABELA 34.

linhagens	AG (U/ml)		
<u>pab fum</u> // <u>nic olv</u> 3 (2)	13,3	a	
<u>pab fum</u> 1	12,9	a	b
<u>ngr</u> 2 // <u>nic olv</u> 3	11,7	a	b
<u>nic olv</u> 1 3	9,8		b
<u>ngr</u> 2	9,4		b

DMS = 3,2
1%

As médias com as mesmas letras não diferem significativamente a nível de 1%.

4.12.3. Experimentos 5 e 6 .

As TABELAS A5 e A6 do Apêndice de tabelas (Experimentos 5 e 6 respectivamente) mostram os resultados obtidos de produção dos mutantes pur₁, arg₁, lys₁, do parental pab₁fn₁, da linhagem nic₁olv₃ e dos diplóides pur₁//nic₁olv₃, pab₁fn₁//nic₁olv₃ (1) e (2) (diplóides controle número 1 e 2). As análises estatísticas estão nas TABELAS 36 e 37.

Através da TABELA 36 verifica-se que embora haja efeito de experimento e interação significativa de linhagens x experimentos, as diferenças entre linhagens se sobrepõem a essas variações.

Assim, pode-se verificar na TABELA 37 que a produção média do mutante lys₁ é significativamente menor que as outras linhagens testadas. O diplóide lys₁//nic₁olv₃ apresenta produção semelhante aos demais diplóides (com exceção do diplóide controle número 1), apenas diferindo ligeiramente da linhagem pab₁fn₁ (maior produtora nestes testes). Desta forma pode-se sugerir que a mutação lys₁ deve ter efeito pleiotrópico na produção da enzima amiloglicosidase, sendo este complementado no diplóide.

O mutante arg₁ (TABELA 37), apresenta média de produção que difere significativamente tanto da parental pab₁fn₁ quanto do diplóide arg₁//nic₁olv₃, sendo que este último tem produção semelhante a do parental nic₁olv₃ e da linhagem pab₁fn₁. Assim, a mutação introduzida parece ter efeito pleiotrópico na produção da enzima, sendo complementada no diplóide.



O mutante pur₁ (TABELA 37) apresenta produção semelhante a do diplóide pur₁/nic₁olv₃, diferindo significativamente, contudo da produção da parental pab₁fn₁. Este diplóide, no entanto tem produção semelhante a da parental nic₁olv₃ e da linhagem pab₁fn₁. Pode-se sugerir então, que há uma alteração que afeta ligeiramente a produção de amiloglicosidase do mutante pur₁, e essa alteração é complementada no diplóide pur₁/nic₁olv₃.



CAMP

TABELA 36 Análise de variância dos dados dos Experimentos 5 e 6.

Causa da Variação	Graus de Liberdade	Soma dos Quadrados	Quadrado Médio	F
Experimento	1	123,4	123,4	21,6 **
Linhagem	9	1836,3	204,0	16,2 **
Exper. x Linhagem	9	114,0	12,6	2,2 *
Resíduo	88	460,6	5,2	
Total	99	2534,3		

* significativo a nível de 5%.

** significativo a nível de 1%.

TABELA 37 Comparação das médias pelo teste de Tukey dos dados da TABELA 36.

Linhagens	AG (U/ml)	
pab fun 1	15,9	a
arg 1 //nic olv 3	13,5	a b
pur 1 //nic olv 3	12,4	a b
nic olv 1	11,7	a b
pur 1	10,9	b
lys 1 //nic olv 3	10,3	b
pab fun 1 //nic olv 3 (2)	9,8	b
arg 1	5,3	c
pab fun 1 //nic olv 3 (1)	5,1	c
lys 1	0,9	d

$$DMS_{1\%} = 4,0$$

As médias com as mesmas letras não diferem significativamente a nível de 1%.

4.12.4. Experimento 7.

A TABELA A7 do Apêndice de Tabelas (Experimento 7) mostra os resultados de produção obtidos para os mutantes met, mys₁, arg₁; dos segregantes arg₁, lys₁ (segregante número 11 do diplóide arg₁ // lys₁, nic₁), met₁, nic₁ (segregante número 37 do diplóide met₁ // nic₁, olv₃), lys₁, nic₁ (segregante número 46 do diplóide lys₁ // nic₁, olv₃), dos diplóides formados entre eles, parentais pab₁, fnw₁ e nic₁, olv₃ e diplóide controle número 2. As análises estatísticas desses dados estão nas TABELAS 38 e 39.

Através da TABELA 38 verifica-se que apesar das grandes variações de produção ocorridas entre repetições da mesma linhagem, houve diferenças significativas entre linhagens.

Na TABELA 39 pode-se verificar que a produção do mutante mys₁ e do diplóide mys₁ // nic₁, olv₃ ^{NÃO} diferiu significativamente da parental pab₁, fnw₁. O mesmo ocorreu com o mutante met₁ e seu diplóide correspondente met₁ // nic₁, olv₃, sugerindo que estas mutações não afetam significativamente a produção da enzima amiloglicosidase.

Para se fazer análise mitótica entre as marcas arg₁, lys₁ e met₁ foram cruzados o mutante arg₁ e o segregante lys₁, nic₁, e ainda os segregantes arg₁, lys₁ e met₁, nic₁, sendo também analisada sua produção. Desta maneira pode-se confirmar os resultados obtidos nos Experimentos 3 e 4 quanto as marcas arg₁ e lys₁ e quanto a marca met₁ neste mesmo teste, sendo que os segregantes que tem a marca arg₁ e/ou lys₁ apresentaram produção significativamente inferior à parental, e o que tem a marca met₁ não diferiu.

A produção de todos os diplóides não diferiu entre si, nem da parental pab₁fun₁. Nota-se, em relação ao diplóide controle número 2, que a sua produção foi mais elevada se comparado aos experimentos anteriores (Experimentos 3; 4; 5 e 6).

4.12.5. Produção de amiloglicosidase das linhagens analisadas

A TABELA 40 mostra a média de produção de amiloglicosidase das linhagens analisadas neste trabalho, e a distribuição de todas as repetições em classes de 1 unidade de AG. Observa-se assim a grande variação de produção tanto inter quanto intra linhagem, podendo-se distinguir bem as aquelas de produção inferior tais como as com marcas arg₁ e lys₁, e o diplóide controle número 1.

TABELA 38 Análise de variância dos dados dos Experimento 7.

Causa da Variação	Graus de Liberdade	Soma dos Quadrados	Quadrado Médio	F
Linhagem	12	2589	209,1	22,9 **
Resíduo	52	473	9,1	
Total	64	2982		

** significativo a nível de 1%.

TABELA 39 Comparação das médias pelo teste de Tukey dos dados da TABELA 38.

Linhagens	AG (U/m)		
<u>pab</u> ₁ <u>fun</u> ₁ // <u>nic</u> ₁ <u>olv</u> ₃ (2)	18,5	a	
<u>arg</u> ₁ <u>lys</u> ₁ // <u>met</u> ₁ <u>nic</u> ₁	18,3	a	
<u>nic</u> ₁ <u>olv</u> ₃	18,0	a	
<u>met</u> ₁	15,9	a b	
<u>met</u> ₁ // <u>nic</u> ₁ <u>olv</u> ₃	15,0	a b	
<u>pab</u> ₁ <u>fun</u> ₁	14,9	a b	
<u>lys</u> ₁ // <u>nic</u> ₁ <u>olv</u> ₃	14,7	a b	
<u>arg</u> ₁ // <u>lys</u> ₁ <u>nic</u> ₁	14,2	a b	
<u>met</u> ₁ <u>nic</u> ₁	10,4	b c	
<u>lys</u> ₁	9,4	b c	
<u>arg</u> ₁	3,6	c d	
<u>lys</u> ₁ <u>nic</u> ₁	0,9	d	
<u>arg</u> ₁ <u>lys</u> ₁	0,3	d	

$$DMS = 7,5 \\ 1\%$$

As médias, com as mesmas letras não diferem significativamente a nível de 1%.



TABELA 40 Produção média de amiloglicosidase (U/ml) dos mutantes, parentais e diplóides e a distribuição das repetições em classes de 1 unidade.

Linhagem	média	0	5	10	15	20	25
<u>pab</u> ₁ <u>fwn</u> ₁	15,16	.	.	.	1. 1. 3. 2. 7. 4. 4. 5. 2. 1. 2. 2. . 1. . .		
<u>nic</u> ₁ <u>olv</u> ₃	12,18	.	.	.	1. 3. 2. 2. 5. 5. 4. 4. 2. 2. 1. . 1. . 2. . .		
<u>tio</u> ₁	9,19	.	.	.	1. 2. . 2. 1. 2. . 1. 1.		
<u>lys</u> ₁	9,92	5. 5.
<u>arg</u> ₁	4,76	.	4. 4. 3. 1. 1. . 1. . 1.
<u>met</u> ₁	15,96	1. 1. . 1. 2.	
<u>pur</u> ₁	10,97	.	.	1. . . 3. 2. 1. . . . 1. 1. . . 1. . .			
<u>mys</u> ₁	9,46	1. 1.	1. 2.	
<u>ebr</u> ₅	9,98	.	.	2. 2. 1. . . 2. 1. 1. 1.			
<u>mgr</u> ₂	9,45	.	.	1. . 3. 3. 2. . . 1.			
<u>arg lys</u> ₁	9,37	5.
<u>lys nic</u> ₁	9,93	3. 2.
<u>met nic</u> ₁	10,44	.	.	.	1. 1. 2. . . 1.		
<u>pab fwn</u> ₁ // <u>nic olv</u> ₃ (1)	5,46	.	1. 4. 2. 6. 3. 4.
<u>pab fwn</u> ₁ // <u>nic olv</u> ₃ (2)	12,99	.	.	1. . 2. 1. 2. 4. 3. 2. 1. 2. 3. . . 1. 1. . 1. . . 1			
<u>tio</u> ₁ // <u>nic olv</u> ₃	13,28	.	.	.	2. 2. 3. 2. 1.		
<u>lys</u> ₁ // <u>nic olv</u> ₃	9,97	.	.	2. . . 2. 2. 1. 3.			
<u>arg</u> ₁ // <u>nic olv</u> ₃	13,49	.	.	.	1. 1. 2. 1. 4. . . 1.		
<u>met</u> ₁ // <u>nic olv</u> ₃	15,89	.	.	.	1. 1. . 1. 1. . . 3.		
<u>pur</u> ₁ // <u>nic olv</u> ₃	12,38	.	.	1. . 2. 2. 1. 2. . 1. 1.			
<u>mys</u> ₁ // <u>nic olv</u> ₃	14,75	.	.	.	1. 3. 1.		
<u>ebr</u> ₅ // <u>nic olv</u> ₃	11,95	.	.	.	1. 3. 1. 1. 3. 1.		
<u>mgr</u> ₂ // <u>nic olv</u> ₃	11,75	.	.	.	3. 1. 1. 1. 3. 1.		
<u>arg</u> ₁ // <u>nic olv</u> ₃	14,24	.	.	.	1. . 2. . . 2.		
<u>arg lys</u> ₁ // <u>met nic</u> ₁	18,30	.	.	.	1. . 1. 2. . 1.		

5. DISCUSSÃO

5.1. Obtenção de Mutantes

5.1.1. Auxotróficos

O enriquecimento de mutantes auxotróficos por filtração não se mostrou eficaz, resultando em baixa frequência de mutantes ($7,5 \cdot 10^{-4}$), o que deve ter ocorrido devido a perda de potência da lâmpada de luz Ultra-Violeta usada. Este fato justificaria a ausência de obtenção de mutantes a partir do ensaio número 13, quando foi testado o maior número de colônias (2860 colônias).

OLSON e NIELSEN (1981) também utilizaram filtração e selecionaram 5 mutantes auxotróficos em 997 colônias testadas do Ficomicteto *Allomyces macrogynus*, irradiado com luz Ultra Violeta. BOS (1985) também obteve resultados positivos utilizando filtração para obter mutantes de *Aspergillus niger*.

A baixa frequência de mutantes obtidos com EMS ($2,2 \cdot 10^{-4}$) deve ter sido devido a variação da concentração final do mutagênico nos ensaios, e consequente aumento da porcentagem de sobrevivência dos conídios, pois grande parte das colônias testadas foram provenientes de ensaios com sobrevivência maiores que 15%.

5.1.2. Resistentes

A concentração de 0,5 µg/ml de Verde Malaquita foi suficiente para selecionar mutantes resistentes à concentrações superiores (30 µg/ml), sendo que com 10 µg/ml a linhagem parental sensível não apresenta crescimento. O mutante mgr₂ apresenta redução de crescimento com 35 µg/ml e não cresce com 50 µg/ml. WARR e ROPER (1965), trabalhando com *Aspergillus nidulans*, obtiveram mutante resistente à concentrações de 10 µg/ml de Verde Malaquita em concentrações de 0,27 µg/ml. Foi usada a concentração de 30 µg/ml dessa droga nos testes para análise genética dessa marca.

O Verde Malaquita parece apresentar efeito haploidizante em *Aspergillus niger*, pois foi observada haploidização mesmo em diplóides sem marcas de resistência à droga. AZEVEDO e col. (1977) verificaram efeito semelhante do fungicida Cloroneb em diplóides de *A. nidulans*.

A concentração de 15 µg/ml de Brometo de Etídio foi suficiente para selecionar mutantes resistentes à concentrações de 40 µg/ml.

A linhagem pab₁,fn₁ não cresceu em concentrações de 10 µg/ml da droga e o mutante ebr₅ foi capaz de crescer bem até 140 µg/ml. A concentração de 100 µg/ml foi usada nos testes para análises genéticas da marca ebr₅.

5.2. Teste de interação Alélica e Complementação em Diplóides.

A marca de resistência ao Verde Malaquita parece ser recessiva (FIGURA 1), pois o diplóide apresenta resistência muito infe-

rior ao mutante e semelhante a linhagem parental. WARR e ROPER (1965) também obtiveram mutante resistente ao Verde Malaquita em *Aspergillus nidulans* com características recessivas.

A marca de resistência ao Brometo de Etídio parece ser semi-dominante (FIGURA 2), pois o diplóide apresenta resistência inferior à do mutante e superior ao parental pab₁fwn₁.

AZEVEDO e col. (1977), SCARAZZATTI e col. (1979), BEHARA e GARBER (1980) e BIANCHI e col. (1981) também isolaram mutantes resistentes com características semi-dominantes, respectivamente em *Aspergillus nidulans* para Cloroneb e Brometo de Etídio, *Penicillium italicum* para tiabendazol e *Saccharomyces cerevisiae* para Manganês. Ainda em relação ao Cloroneb, TUYLL (1977), MARTINEZ-ROSSI (1979), GROSSI (1980) e BARACHO (1987) estudaram genes que eles consideraram recessivos.

Todas as marcas auxotróficas estudadas que segregaram parecem ser recessivas pois os diplóides obtidos cresceram em MM. A marca pur, não foi recuperada em nenhum segregante obtido de dois diplóides sintetizados entre as linhagens pur, e nic₁olv₃. Assim estes dois diplóides podem ser classificados como do tipo CS II, segundo BONATELLI JR e col. (1983) por não segregarem todas as marcas envolvidas no cruzamento, e os demais diplóides obtidos neste trabalho como do tipo CS I por segregarem todas as marcas.

O fato de não ser recuperadas certas marcas genéticas poderia ser explicado pela ocorrência de crossing-over ou não disjunção mitótica, com perda do alelo mutante estudado, ficando o diplóide em homozigose para o alelo selvagem. Este fato foi comentado por LHOAS (1967) e BOS (1985) como uma possibilidade quando se repica muitas ve-

zes o diplóide antes da haploidização, o que não ocorreu no presente trabalho.

Não foi possível isolar heterocário ou diplóide entre as linhagens nic₃ e nic,olv, o que sugere que nic₃ e nic, são alelos, sendo denominados nic A₃ e nic A₁.

5.3. Análises Genéticas

Através das análises mitóticas realizadas pode-se sugerir que os genes mgr₂, ebr₅, tio, mys, nic, olv₃ e fun, devem estar ligados (TABELAS 14, 16, 20 e 22).

Os genes lys, arg, e met, parecem não estar ligados aos demais genes marcadores utilizados (TABELAS 18, 24 e 26), sendo que arg, e met, parecem estar no mesmo grupo de ligação (TABELAS 28 e 30).

Os desvios da proporção 1:1 de segregantes encontrados principalmente nos cruzamentos que envolveram a marca arg, e a marca met, em relação a marca olv₃ (segregantes oliva deficientes para arginina ou metionina) não afetaram a determinação dos grupos de ligação pois foram encontrados grande número de segregantes marrons prototróficos que mostraram inequivocamente que aquelas marcas não estão ligadas as de coloração de confídios.

Desvios na proporção 1:1 de segregantes também foram observados por LHOAS (1967) em *Aspergillus niger*, principalmente para a marca leu 3, por PAPA (1982) em *A. flavus*, em relação a marca nor e por HAMLYN e col. (1985) em *Cephalosporium acremonium*, em relação a marca leu.

No presente trabalho também foi verificado uma menor frequência de aparecimento de setores verde oliva em geral, o que concorda com o observado por PONTECORVO e col. (1953 a), BALL e col. (1978) e UMBUZEIRO VALENT (1985).

Através dos dados obtidos de todos os cruzamentos realizados (TABELA 31) pode-se identificar 4 grupos de ligação nessa linhagem designados a seguir:

- I nic $A_{1,3}$ fwn, olv₃, mgr₂, ebr₅, tio, mys₁
- II pab₁,
- III lys₁,
- IV arg₁, met₁,

A ordem dos genes no grupo I e IV não foi determinada.

5.4. Produção de Amiloglicosidase

As marcas arg₁, lys₁, ebr₅, tio, e pur, parecem ter efeito pleiotrópico na produção de amiloglicosidase, pois mutantes ou segregantes com estas marcas apresentaram produção significativamente menor que a linhagem parental pab₁, fwn₁ (TABELAS 33, 37 e 39). Outra possibilidade seria a existência de uma segunda mutação responsável pela diminuição de produção, como sugerido por MACDONALD (1963) para produção de penicilina em *Penicillium chrysogenum*. Este autor verificou que a baixa produção de mutantes auxotróficos era devido principalmente a efeito pleiotrópico, mas que havia também outro efeito adicional envolvido. No presente trabalho não há evidências suficientes para eliminar quaisquer das duas possibilidades.

CHANG e TERRY (1973) observaram diminuição na produção de amiloglicosidase e ácido cítrico em mutantes de *Aspergillus niger* e *A. foetidus*, BALL e col. (1978) de amiloglicosidase em mutantes de *A. niger* e MACDONALD e col. (1972) de penicilina em mutantes de *A. nidulans*.

De acordo com UMBUZEIRO VALENT (1985) os mutantes arg e lys poderiam ser classificados como de baixa e o mutante tio, como de média produção, sendo que os mutantes ebr₅ e pur₁, não apresentaram diminuição de produção nos níveis correspondentes a essa classificação.

As marcas mgr₂, mys, e met₁, não parecem ter efeito na produção de amiloglicosidase pois a produção dos segregantes com essas marcas não diferiram significativamente da linhagem parental pab, fun₁, nem dos seus respectivos diplóides. Ao contrário da marca met estudada neste trabalho, aquela estudada por BALL e col. (1978), nesta mesma espécie, ocasionou diminuição de produção de amiloglicosidase.

ILCZUK e FIEDUREK (1986) conseguiram selecionar revertentes com produção 40% maior que o prototrófico maior produtor de amiloglicosidase em *Aspergillus niger*, sendo esta uma outra alternativa de melhoramento neste fungo.

Quanto aos diplóides, nenhum dos estudados mostrou produção significativamente maior que a linhagem parental pab, fun₁, em todos os experimentos. DAS e ROY (1978) obtiveram um diplóide com produção de ácido cítrico 1,2 vezes maior que a linhagem parental selvagem. CHANG e TERRY (1973), por outro lado, não conseguiram diplóide com maior produção, como no presente trabalho.

Outro aspecto bem evidenciado neste trabalho foi as diferenças significativas de produção entre os diplóides controle número 1 e 2 (TABELA 37). Considerando que os diplóides foram sintetizados entre as mesmas linhagens, através da mesma técnica, a diferença de produção observada não pode ser facilmente explicada. Uma diferença entre eles é que o número 1 foi obtido por volta de três anos antes do número 2, sendo que antes apresentava produção semelhante à parental pab, fun, (UMBUZEIRO VALENT, 1985) como o número 2 no presente trabalho. Esse fato poderia ser explicado através de recombinação mitótica gerando conídios com genes em homozigose naquele diplóide, inicialmente heterozigoto e com produção normal. Contudo não se tem nenhuma evidência neste sentido, sendo este um aspecto interessante que poderia ser estudado em trabalhos posteriores.



CAMP

6. CONCLUSÕES

- 1- Os mutagênicos usados (luz Ultra-Violeta e EMS) foram eficientes para induzir mutantes auxotróficos e de resistência à drogas.
- 2- O enriquecimento por filtração não se mostrou eficaz em aumentar a frequência de mutantes provavelmente devido a problemas de diminuição da potência da lâmpada de luz Ultra-Violeta.
- 3- Só foram isolados mutantes resistentes à Verde Malaquita e Brometo de Etídio após indução com luz Ultra-Violeta e estas mutações se mostraram recessiva e semi-dominante respectivamente, em relação ao alelo selvagem.
- 4- O Verde Malaquita teve efeito haploidizante em diplóides de *Aspergillus niger*.
- 5- Os genes arg₁, lys₁, met₁, mys₁ e tio₁ se mostraram recessivos. O gene nic₃ obtido neste trabalho parece ser alelo ao nic₁ obtido por BONATELLI JR e col. (1982) sendo proposta a denominação nic A₃ e nic A₁.
- 6- Através de análise mitótica foi verificado que as marcas estudadas estão distribuídas em 4 grupos de ligação:

I nic A_{1,3} fnl₁ olv₃ mgr₂ ebr₅ tio₁ mys₁

II pab,

III lys,

IV arg, met,

7- Nenhum diplóide ou outra linhagem ensaiada teve produção significativamente maior que a linhagem parental pab, fun. Os mutantes arg, : lys, : ebr₅ : tio, e pur, apresentam redução da produção de amiloglicasidase, e os mutantes mgr₂, met, e mys, tem produção semelhante a parental.

7 RESUMO

Este trabalho teve por objetivos a obtenção de mutantes auxotróficos e de resistência à drogas em *Aspergillus niger*, para serem utilizados na análise genética via ciclo parassexual e estabelecimento de novos grupos de ligação numa linhagem industrial utilizada neste laboratório. Além disso, os parentais, diplóides e alguns segregantes destes cruzamentos foram analisados para produção da enzima amiloglicosidase.

As mutações de resistência ao Verde Malaquita e ao Brometo de Etídio se mostraram recessiva e semi-dominante respectivamente, e as auxotróficas arg₁, lys₁, met₁, mys₁ e tio₁ se mostraram recessivas. O gene nic₃ parece ser alelo do gene nic₁, sendo portanto denominados nic A₃ e nic A₁.

Através de análise mitótica foi verificado que as marcas estudadas estão distribuídas em 4 grupos de ligação, sendo que a ordem dos genes nos grupos I e IV não foi determinada:

- I nic A_{1,3} fwn₁ olv₃ mgr₂ ebr₅ tio₁ mys₁
- II pab₁
- III lys₁
- IV arg₁ met₁

Nenhum dos diplóides ou demais linhagens ensaiadas apresentaram produção significativamente maior que a linhagem parental pab fwn. Os mutantes arg₁, lys₁, ebr₅, tio₁ e pur₁ apresentaram redução na produção de amiloglicosidase, e os mutantes mgr₂, met₁ e mys₁ tiveram produção semelhante a parental.

8 SUMMARY

This work had been done aiming the isolation and genetical analysis of auxotrophic and resistant mutants in order to enhance the number of identified linkage groups in a industrial strain. It was also assayed the glucoamylase production of mutants, diploids and parental strains.

The mutations to Ethidium Bromide and Malaquite Green resistance showed to be recessive e semi-dominant respectively, the auxotrophic ones, arg, met, lys, tio, and mys, showed to be recessive. The gene nic₃ seemed to be allele of nic₁, and were denominated nic A₃ and nic A₁.

It was possible to identify four linkage groups in this work. The gene order in linkage groups I and IV was not determined.

- I nic A_{1,3} fn₁ olv₃ mgr₂ ebr₅ tio₁ mys₁
- II pab₁
- III lys₁
- IV arg₁ met₁

None of the diploids or any other strain tested showed significant elevated levels of glucoamylase production compared to the parental strain pab,fn₁.

Mutants arg₁, lys₁, ebr₅, tio₁, and pur₁, had their glucoamylase production reduced and mgr₂, met₁, and mys₁, did not have their yields altered significantly compared to the parental.



9. BIBLIOGRAFIA

- AL-AIDROOS, K., 1980. Demonstration of a parasexual cycle in the entomopathogenic fungus *Metarrhizium anisopliae*. Canadian Journal of Genetics and Cytology, 22: 309-14.
- AMIRKHANIAN, J. D. e J. W. COWAN, 1985. Mapping genes by meiotic and UV-induced mitotic recombination in *Coprinus cinereus*. The Journal of Heredity, 76: 348-54.
- ANDERSON, M. R. e C. S. DEPPE, 1977. Selection for conditional lethals: a general negative selection system for *Schizophyllum commune*. Genetical Research, 29: 93-6.
- ANDERSON, J. B.; D. M. PETSCHE e A. L. FRANKLIN, 1985. Nuclear DNA content of Benomyl-induced segregants of diploid strains of the phytopathogenic fungus *Armillaria mellea*. Canadian Journal of Genetics and Cytology, 27: 47-50.
- AZEVEDO, J. L., 1972. O ciclo parassexual em fungos. Revista de Microbiologia, 3: 157-68.
- AZEVEDO, J. L., 1976. Variabilidade em fungos fitopatogênicos. Summa Phytopathologica, 2: 3-15.

AZEVEDO, J. L.: E. P. SANTANA e R. BONATELLI JR., 1977. Resistance and mitotic instability to Chloroneb and 1,4-Oxathiin in *Aspergillus nidulans*. Mutation Research, 48: 163-72.

AZEVEDO, J. L., 1987. Recombinação em fungos filamentosos. Em: COSTA, S. O. P. ed. Genética Molecular e de Microrganismos. Editora Manole LTDA, São Paulo, p 393-407.

BAGALHI, E., 1987. Parameiose em *Metarrhizium anisopliae* (Metsch.) Sorokin. Piracicaba, ESALQ/USP. 124p. (Tese de Mestrado).

BALL, C., 1971. Haploidization Analysis in *Penicillium chrysogenum*. Journal of General Microbiology, 66: 63-9.

BALL, C. e P. F. HAMLYN, 1978. The genetics of *Acremonium chrysogenum*. Revista Brasileira de Genética, 1: 83-96.

BALL, C.; A. J. LAWRENCE; J. M. BUTLER e K. B. MORRISON, 1978. Improvement in amyloglucosidase production following genetic recombination of *Aspergillus niger* strains. European Journal of Applied Microbiology and Biotechnology, 5: 95-102.

BANKS, G. T.; F. BINNS e R. L. CUTCLIFFE, 1976. Recent developments in the production and industrial applications of amylolytic enzymes derived from filamentous fungi. Progress in Industrial Microbiology 6: 95-139.



CAMP

BARACHO, I. R., 1987. Duonreganta geno ĉe rezistokapablo de *A. nidulans* al Kloronebo. Hodiaŭa Genetiko, 1: 17-28.

BEADLE, G. W. e E. L. TATUM, 1941. Genetical control of biochemical reactions in *Neurospora*. Proceedings of National Academy of Science, Wash., 27: 499-506.

BENNETT, J.W., 1979. Aflatoxins and anthraquinones from diploids of *Aspergillus parasiticus*. Journal of General Microbiology, 113: 127-36.

BERAHA, L. e E. D. GARBER, 1966. Genetics of phytopathogenic fungi. XV. A genetic study of resistance to sodium orthophenylphenate and sodium dehydroacetate in *Penicillium expansum*. American Journal of Botany, 53: 1041-47.

BERAHA, L. e E. D. GARBER, 1980. A genetic study of resistance to thiabendazole and sodium o-phenylphenate in *Penicillium italicum* by the parasexual cycle. Botanical Gazette, 141: 204-9.

BIANCHI, M. E.; M. L. CARBONE; G. LUCCHINI e G.E. MAGNI, 1981. Mutants resistant to manganese in *Saccharomyces cerevisiae*. Current Genetics, 4: 215-20.

BONATELLI JR., R., 1981. Parassexualidade e produção de ácido cítrico em *Aspergillus niger*. Piracicaba, ESALQ/USP. 91p (Tese de Mestrado).



AMP

BONATELLI JR., R. e J. L. AZEVEDO, 1982. Improved reproducibility of citric acid production in *Aspergillus niger*. Biotechnology Letters, 4: 761-66.

BONATELLI JR., R.; J. L. AZEVEDO e G. U. VALENT, 1982. Citric acid production by *Aspergillus niger* mutants. Revista Brasileira de Genética, 5: 483-92.

BONATELLI JR., R.; J. L. AZEVEDO e G. U. VALENT, 1983. Parasexuality in a citric acid producing strain of *Aspergillus niger*. Revista Brasileira de Genética, 6: 399-405.

BONATELLI JR., R.; G. U. VALENT; M. MASIERO; A. VIALTA e M. R. CALIL, 1984. Genetics of amyloglucosidase production in *Aspergillus niger* and *Aspergillus awamori*. In: Japan-Brazil Symposium on Science and Technology, 4. Rio de Janeiro. v.2, p.34-41.

BOS, C. J., 1985. Induced mutation and somatic recombination as tools for genetic analysis and breeding of imperfect fungi. Wageningen, Agricultural University Wageningen. 156p (Tese de Doutorado).

BOS, C. J., 1987. Mutant collection and master strains of *Aspergillus niger*. Fungal Genetics Newsletter, 34: 27.

BRADSHAW, R. E., J. W. BENNETT e J. F. PEBERDY, 1983. Parasexual analysis of *Aspergillus parasiticus*. Journal of General Microbiology, 129: 2117-23.



CATCHESIDE, D. G., 1954. Isolation of nutritional mutants of *Neurospora crassa* by filtration enrichment. Journal of General Microbiology, 11: 34-6.

CATEN, C. E. & J. L. JINKS, 1966. Heterokaryosis: Its significance in wild homothallic ascomycetes and fungi imperfecti. Transactions of the British Mycological Society, 49: 81-93.

CATEN, C. E., 1981. Parasexual processes in fungi. In: GULL, K. & S. G. OLIVER ed. The Fungal Nucleus. Cambridge University Press, p 291-214.

CHANG, L. T. & C. A. TERRY, 1973. Intergenic complementation of glucoamylase and citric acid production in two species of *Aspergillus*. Applied Microbiology, 25: 890-95.

COOLEY, R. N.; H. R. HASLOCK & A. B. TOMSETT, 1986. Isolation and characterization of cadmium-resistant mutants of *Aspergillus nidulans*. Current Microbiology, 13: 265-68.

DAS, A & P. ROY, 1978. Improved production of citric acid by a diploid strain of *Aspergillus niger*. Canadian Journal of Microbiology, 24: 622-25.

DAY, P. R. & G. E. ANDERSON, 1961. Two linkage groups in *Coprinus lagopus*. Genetical Research, 2: 414-23.



DIXON, M. & E. C. WEBB, 1962. Enzymes. London, Longmans. 193p.

EDWARDS, G. F. StL.; G. HOLT & K. D. MACDONALD, 1974. Mutants of *Aspergillus nidulans* impaired in penicillin biosynthesis. Journal of General Microbiology, 94: 420-22.

FIEDUREK, J., 1983. Pectinase synthesis by auxotrophic mutants of *Aspergillus niger* in a submerged culture. Annales Universitatis Mariae Curie-Sklodowska, Sect.C, 37, 181-94.

FINCH, P. & P. A. LEONARD, 1978. Comparative studies on glucoamylases isolated from a strain of *Aspergillus*. Starch, 30: 341-45.

FLEMING, I. D. & B. A. STONE, 1965. Fractionation of *Aspergillus niger* amylo-glucosidase. The Biochemical Journal, 92: 13.

FRIES, N., 1947. Experiments with different methods of isolating physiological mutations of filamentous fungi. Nature, 159: 199.

FRIES, N., 1948a. Spontaneous physiological mutations in *Ophiostoma*. Hereditas, 34: 338-50.

FRIES, N., 1948b. Viability and resistance of spontaneous mutations in *Ophiostoma* representing different degrees of heterotrophy. Physiological Planter, 1: 330-41.

FUNGARO, M. H. P., 1984. Caracterização genética e dados citológicos em *Aspergillus niger* Van Tieghen e *Aspergillus awamori* Nakazawa. Piracicaba, ESALQ/USP. 134p. (Tese de Mestrado).

GRIGOROV, V. S.; N. A. ZHEREBTSOV e V. V. SHCHEGOLEV, 1986. Ploidy determination in *Rhizopus pygmaeus* mutants and their glucoamylase biosynthesis at different temperatures. *Mikrobiologiya*, 55: 431-34.

GROSSI, C., 1980. Aspectos genéticos da resistência ao Cloroneb em uma linhagem de *Aspergillus nidulans*. Piracicaba, ESALQ/USP, 140p (Tese de Mestrado).

HAMLYN, P. F.; J. A. BIRKETT; G. PEREZ e J. F. PEBERDY, 1985. Protoplast fusion as a tool for genetic analysis in *Cephalosporium acremonium*. Journal of General Microbiology, 131: 2813-23.

HASTIE, A. C., 1970. Benlate-induced instability of *Aspergillus* diploids. Nature, 226: 771.

HEAGY, F. C. e J. A. ROPER, 1952. Deoxyribonucleic acid content of haploid and diploid *Aspergillus* conidia. Nature, 170: 713.

HOLLIDAY, R., 1961. Induced mitotic crossing-over in *Ustilago maydis*. Genetical Research, 2: 231-48.



AMP

HOLT, G., G. F. STL. EDWARDS & K. D. MACDONALD, 1976. The genetics of mutants impaired in the biosynthesis of penicillin. In: MACDONALD, K. D. ed. Proceedings of the International Symposium on the Genetics of Industrial Microorganisms, 2. New York, Academic. p.199-211.

ILCZUK, Z., 1970. Genetics of citric acid producing strains of *Aspergillus niger*. II. Citric acid synthesis by auxotrophic mutants of *A. niger* induced with UV. Nahrung, 14: 97-105.

ILCZUK, Z. & J. FIEDUREK, 1985. Amylase synthesis by forced heterocaryons of *Aspergillus niger* in submerged culture conditions. Starch, 37: 62-6.

ILCZUK, Z. & J. FIEDUREK, 1986. Effect of the reversion of *Aspergillus niger* auxotrophic mutants to prototrophic forms on their glucoamylolytic activity. Starch, 38: 281-84.

ISHITANI, C. & K. SAKAGUCHI, 1956. Hereditary variation and genetic recombination in Koji-moulds (*Aspergillus oryzae* and *A. sojae*). V. Heterocaryosis. Journal of General and Applied Microbiology, 2: 345-400.

ISHITANI, C.; Y. IKEDA & K. SAKAGUCHI, 1956. Hereditary variation and genetic recombination in Koji-moulds (*Aspergillus oryzae* and *A. sojae*). VI. Genetic recombination in heterozygous diploids. Journal of Applied Microbiology, 2: 401-30.

IVANOVA, V. V. e L. I. EROKHINA, 1983. Use of catabolite repression in the selection of the glucoamylase producer *Aspergillus niger*. Prikladnaya Biokhimiya i Mikrobiologiya, 19: 844-50.

JOHANNSEN, E.; L. EAGLE e G. BREDENHANN, 1985. Protoplast fusion used for the construction of presumptive polyploids of the D-xylose fermenting yeast *Candida shehatae*. Current Genetics, 9: 313-19.

KAFER, E., 1960. High frequency of spontaneous and induced genetic segregation. Nature, 186: 619-20.

KAFER, E., 1961. The processes of spontaneous recombination in vegetative nuclei of *Aspergillus nidulans*. Genetics, 46: 1581-609.

KERR, R. W.; F. C. CLEVELAND e W. J. KATZBECK, 1951. The action of amylo-glucosidase on amylose and amilopectin. Journal of the American Chemical Society, 73: 3916-21.

KUNDU, P. N. e A. DAS, 1985. A note on crossing experiments with *Aspergillus niger* for the production of calcium gluconate. Journal of Applied Bacteriology, 59: 1-5.

KVESITADZE, G. I.; L. L. KVACHADZE; M. D. PAVLENISHVILI e V. V. KORIDZE, 1981. Selection of microscopic fungi producing acid-stable amylase and glucoamylase. Microbiology, 50: 598-606.



AMP

LHOAS, P., 1961. Mitotic haploidization by treatment of *Aspergillus niger* diploids with para-fluorophenylalanine. Nature, 190, 744.

LHOAS, P., 1967. Genetic analysis by means of the parasexual cycle in *Aspergillus niger*. Genetical Research, 10: 45-61.

MACDONALD, K. D.; J. M. HUTCHINSON e W. A. GILLETT, 1963. Isolation of auxotrophs of *Penicillium chrysogenum* and their penicillin yields, 1963. Journal of General Microbiology, 33: 365-74.

MACDONALD, K. D., 1972. Genetics of penicillin production in *Penicillium chrysogenum* and *Aspergillus nidulans*. In: VANEK, Z.; Z. HOSTALEK e J. CUDLIN, ed. Genetics of Industrial Microorganisms. Amsterdam, Elsevier. v.1, p.255-264.

MACDONALD, K. D.; HOLT e P. DITCHBURN, 1972. The genetics of penicillin production. Proc. IV. IFS: Fermentation Technology Today. p. 251-57.

MAKINS, J. F.; G. HOLT e K. D. MACDONALD, 1983. The genetic location of three mutations impairing penicillin production in *Aspergillus nidulans*. Journal of General Microbiology, 129: 3027-33.

MANJUNATH, P. e M. R. R. RAO, 1980. Immunochemical relationship between glucoamylases I and II of *Aspergillus niger*. Journal of Bioscience, 2: 163-69.



AMP

MARTINEZ-ROSSI, N. M., 1979. Mutantes resistentes ao fungicida Cloronaeb em *Aspergillus nidulans* (Eidam) Winter. Piracicaba, ESALQ/USP, 104p (Tese de Mestrado).

MESSIAS, C. L. e J. L. AZEVEDO, 1980. Parasexuality in the deuteromycete *Metarrhizium anisopliae*. Transactions of the British Mycological Society, 75: 473-77.

MORPURGO, G., 1961. Somatic segregation induced by p-fluorophenylalanine. *Aspergillus News Letter*, 2: 10.

MORRISSEY, J. H. e W. F. LOOMIS, 1981. Parasexual genetic analysis of cell proportioning mutants of *Dictyostelium discoideum*. Genetics, 99: 183-96.

NEVALAINEN, K. M. H. e E. T. PALVA, 1979. Improvement of amylo-glucosidase production of *Aspergillus awamori* by mutagenic treatments. Journal of Chemical Technology and Biotechnology, 29: 390-95.

NORMANSELL, P. J. M.; I. D. NORMANSELL e G. HOLT, 1979. Genetic and Biochemical studies of mutants of *Penicillium chrysogenum* impaired in penicillin production. Journal of General Microbiology, 112: 113-26.

OLSON, L. W. e T. A. B. NIELSEN, 1981. Isolation of auxotrophic mutants of *Allomyces macrogynus*. Mycologia, 73: 493-99.



IMP

PAPA, K. E., 1973. The parasexual cycle in *Aspergillus flavus*.
Mycologia, 65: 1201-5.

PAPA, K. E., 1976. Linkage groups in *Aspergillus flavus*. *Mycologia*,
68: 159-65.

PAPA, K. E., 1978. The parasexual cycle in *Aspergillus parasiticus*.
Mycologia, 70: 766-73.

PAPA, K. E., 1980. Dominant aflatoxin mutant of *Aspergillus flavus*.
Journal_of_General_Microbiology, 118: 279-82.

PAPA, K. E., 1982. Norsolorinic acid mutant of *Aspergillus flavus*.
Journal_of_General_Microbiology, 128: 1345-48.

PAPA, K. E., 1984. Genetics of *Aspergillus flavus*: linkage of
aflatoxin mutants. *Canadian_Journal_of_Microbiology*, 30: 68-73.

PARK, Y. K. e R. S. PAPINI, 1970. Produção de xarope de glicose do
amido de mandioca pelo método enzima-enzima. *Revista_Brasileira_de
Tecnologia*, 1: 13-16.

PARK, Y. K. e M. S. S. DE SANTI, 1977. Induction of high amylo-
glucosidase-producing mutant from *Aspergillus awamori*. *Journal_of
Fermentation_Technology*, 55: 193-95.



CAMP

PAZUR, J.H. e T. ANDO, 1959. The action of an amyloglucosidase of *Aspergillus niger* on starch and malto-oligosaccharides. The Journal of Biological Chemistry, 234: 1966-70.

PAZUR, J. H. e K. KLEPPE, 1962. The hidrolysis of L-D-glucosides by amyloglucosidase from *Aspergillus niger*. The Journal of Biological Chemistry, 237: 1002-6.

PIMENTEL GOMES, F. P., 1966. Curso de Estatística Experimental. Gráfica Benetti, São Paulo. 430p.

PONTECORVO, G. e J. A. ROPER, 1952. Genetic analysis without sexual reproduction by means of poliploidy in *Aspergillus nidulans*. Journal of General Microbiology, 6: viii.

PONTECORVO, G.; J. A. ROPER e E. FORBES, 1953a. Genetic recombination without sexual reproduction in *Aspergillus niger*. Journal of General Microbiology, 8: 198-210.

PONTECORVO, G.; J. A. ROPER; L. M. HEMMONS; K. D. MACDONALD e A. W. J. BUFTON, 1953b. The genetics of *Aspergillus nidulans*. Advances in Genetics, 5: 141-238.

PONTECORVO, G., 1956. The parasexual cycle in fungi. Annual Review of Microbiology, 10: 393-400.

PONTECORVO, G., 1958. Trends in Genetic Analysis. Columbia University Press, New York. 145p.



ABC

PONTECORVO, G. e E. KAFER, 1958. Genetic analysis based on mitotic recombination. Advances in Genetics, 9: 71-104.

RAMANESH, N.; K. R. SREEKANTIAH e V. S. MURTHY, 1982. Studies of two forms of amyloglucosidase of *Aspergillus niger* Van Tieghen. Starch, 34: 346-51

RAPER, K. B. e D. I. FENNELL, 1965. The Genus Aspergillus. Baltimore, Williams e Wilkins. 686p.

ROPER, J. A., 1952. Production of heterozygous diploids in filamentous fungi. Experimentia, 8: 14-15.

ROPER, J. A. e R. H. PRITCHARD, 1955. Recovery of the complementary products of mitotic crossing-over. Nature, 175: 639.

ROSIM, R. T.; O. GARCIA JR. e I. R. BARACHO, 1978. Tamanho de conídios e núcleos em linhagens haploides e diplóides de *Aspergillus niger*. Ciência e Cultura, 30: 487-92.

SCARAZZATTI, M. E.; R. BONATELLI JR. e J. L. AZEVEDO, 1979. Resistance to Ethidium Bromide in *Aspergillus nidulans*. Experimentia (Basel), 35: 307-8.

SERMONTI, G., 1956. Complementary genes which affect penicillin yields. Journal of General Microbiology, 15: 599-608.

SHCHERBAKOVA, E. Y.; M. N. REZVAYA, E. B. L'VOVA e Y. R. MOVCHAN, 1978. Cell morphology, distribution of nuclei and DNA contents of haploid and diploid strains of *Aspergillus niger*. *Mikrobiologiya*, 47: 91-6.

SILVEIRA, W. D. e J. L. AZEVEDO, 1984. Isolation of auxotrophic mutants of *Metarrhizium anisopliae* by the filtration enrichment technique. *Revista Brasileira de Genética*, 7: 1-8.

SINKAR, V. P. e N. F. LEWIS, 1982. Glucoamylase production by a newly isolated strain of *Aspergillus niger*. *Journal of Food Protection*, 45: 586-89.

SMITH, J. E. e J. A. PATEMAN, Eds., 1977. Genetics and Physiology of Aspergillus. London, Academic Press, Inc. Ltd. 522p.

STERN, C., 1936. Somatic crossing-over and segregation in *Drosophila melanogaster*. *Genetics*, 21: 625-730.

STROMNAES, O.; E. D. GARDER e L. BERAHÀ, 1964. Genetics of phytopathogenic fungi. IX. Heterocaryosis and the parasexual cycle in *Penicillium italicum* and *Penicillium digitatum*. *Canadian Journal of Botany*, 42: 423-27.

SVENSSON, B.; T. G. PEDERSEN; I. SVENDSEN; T. SAKAI e M. OTTESEN, 1982. Characterization of two forms of G.A. from *Aspergillus niger*. *Carlsberg Research Communications*, 42: 55-9.

TINLINE, R. D., 1961. *Cochliobolus sativus*. IV. Drug-resistant, color, and nutritionally exacting mutants. Canadian Journal of Botany, 39: 1695-704.

TINLINE, R. D., 1962. *Cochliobolus sativus*. V. Heterocaryosis and parasexuality. Canadian Journal of Botany, 40: 425-37.

TINLINE, R. D. e B. H. MACNEILL, 1969. Parasexuality in plant pathogenic fungi. Annual Review of Phytopathology, 7: 147-70.

TUYLL, J. M. van, 1977. Genetics of Fungal Resistance to Systemic Fungicides. Netherland, Mededelingen Landbouwhogeschool Wageningen. 136p.

UMBUZEIRO VALENT, G., 1985. Isolamento e análise genética de mutantes com alteração na produção de amiloglicosidase em *Aspergillus niger*. Campinas. UNICAMP. 113p. (Tese de Mestrado).

UPSHALL, A.; B. GIDDINGS e I. D. MORTIMORE, 1977. The use of Benlate for distinguishing between haploid and diploid strains of *Aspergillus nidulans* and *Aspergillus terreus*. Journal of General Microbiology, 100: 413-18.

VIALTA, A., 1987. Genética e produção de amiloglicosidase em *Aspergillus awamori* e no híbrido interespécífico com *Aspergillus niger*. Campinas. UNICAMP. 173p. (Tese de Mestrado).

YAMASHITA, I. e S. FUKUI, 1984a. Genetic background of glucoamylase production in the yeast *Saccharomyces*. Agricultural_and_Biological Chemistry, 48: 137-41.

YAMASHITA, I. E S. FUKUI, 1984b. Isolation of glucoamylase-non-producing mutants in the yeast *Saccharomyces diastaticus*. Agricultural_and_Biological_Chemistry, 48: 131-35.

WARR, J. R. e J. A. ROPER, 1965. Resistance to various inhibitors in *Aspergillus nidulans*. Journal_of_General_Microbiology, 40: 273-81.

WHELAN, W. L. e D. R. SOLL, 1982. Mitotic recombination in *Candida albicans*: recessive lethal alleles linked to a gene required for methionine biosynthesis. Molecular_General_Genetics, 187: 477-85.

WHELAN, W. L. e D. MARKIE, 1985. UV-induced instability in *Candida albicans* hybrids. Current_Genetics, 9: 175-77.

APENDICE

TABELA A1 Produção de AG de mutantes, parentais e diploídes.

Linhagen	REPETIÇÕES (U/ml)				
	I	II	III	IV	V
<u>pab fmn</u> <u>1</u> <u>1</u>	15,86	12,33	15,84	16,76	13,87
<u>nic olv</u> <u>1</u> <u>3</u>	19,47	14,99	13,41	15,94	11,94
<u>ebr</u> <u>5</u>	6,60	6,88	7,88	11,64	7,42
<u>tio</u> <u>1</u>	5,47	8,38	10,01	9,15	6,76
<u>pab fmn</u> // <u>nic olv</u> (1) <u>1</u> <u>1</u> <u>3</u>	5,40	4,88	2,75	5,33	5,80
<u>ebr</u> // <u>nic olv</u> <u>5</u> <u>3</u>	13,98	12,27	13,36	18,38	11,24
<u>tio</u> // <u>nic olv</u> <u>1</u> <u>3</u>	13,35	14,94	13,88	14,95	15,33

TABELA A2 Produção de AG de mutantes, parentais e diploídes

Linhagens	REPETIÇÕES (U/ml)				
	I	II	III	IV	V
<u>pab fmn</u> <u>1</u> <u>1</u>	19,65	18,19	14,62	13,87	11,96
<u>nic olv</u> <u>1</u> <u>3</u>	11,63	10,65	12,33	11,30	8,80
<u>ebr</u> <u>5</u>	14,28	13,86	11,63	12,33	8,23
<u>tio</u> <u>1</u>	8,19	13,79	10,63	12,68	6,98
<u>pab fmn</u> // <u>nic olv</u> (1) <u>1</u> <u>1</u> <u>3</u>	6,94	5,97	7,49	7,22	6,47
<u>ebr</u> // <u>nic olv</u> <u>5</u> <u>3</u>	9,97	10,29	13,68	14,84	10,58
<u>tio</u> // <u>nic olv</u> <u>1</u> <u>3</u>	12,57	13,32	11,23	12,94	11,22

TABELA A3 Produção de AG de mutantes, parentais e diplóides

Linhagens	REPETIÇÕES (U/mL)				
	I	II	III	IV	V
<u>pab</u> ₁ <u>fnl</u> ₁	14,62	14,28	18,32	13,35	8,23
<u>nic</u> ₁ <u>olv</u> ₃	13,43	14,21	9,83	7,39	10,31
<u>mgr</u> ₂	13,43	18,64	9,88	6,58	8,51
<u>pab</u> ₁ <u>fnl</u> ₁ // <u>nic</u> ₁ <u>olv</u> ₃ (2)	14,14	14,54	19,63	15,31	10,98
<u>mgr</u> ₂ // <u>nic</u> ₁ <u>olv</u> ₃	9,65	13,36	14,55	13,36	13,35

TABELA A4 Produção de AG de mutantes, parentais e diplóides

Linhagens	REPETIÇÕES (U/mL)				
	I	II	III	IV	V
<u>pab</u> ₁ <u>fnl</u> ₁	12,22	12,26	12,99	12,28	9,63
<u>nic</u> ₁ <u>olv</u> ₃	7,91	7,91	9,84	11,22	6,86
<u>mgr</u> ₂	10,29	8,46	9,96	8,49	9,86
<u>pab</u> ₁ <u>fnl</u> ₁ // <u>nic</u> ₁ <u>olv</u> ₃ (2)	11,61	10,88	12,67	11,27	12,66
<u>mgr</u> ₂ // <u>nic</u> ₁ <u>olv</u> ₃	9,58	10,78	9,82	12,29	11,62

TABELA A5 Produção de AG de mutantes, parentais e diplóides

Linhagens	REPETIÇÕES (U/m)				
	I	II	III	IV	V
<u>pab</u> ₁ <u>fum</u> ₁	12,96	12,96	15,31	10,00	14,50
<u>nic</u> ₁ <u>olv</u> ₃	12,96	12,61	13,34	10,30	11,23
<u>pur</u> ₁	8,72	9,04	8,28	8,52	5,79
<u>arg</u> ₁	6,48	9,88	5,97	2,34	2,96
<u>lys</u> ₁	1,06	0,67	0,61	0,59	0,36
<u>pab</u> ₁ <u>fum</u> ₁ // <u>nic</u> ₁ <u>olv</u> ₃ (1)	5,33	3,61	3,59	3,60	3,35
<u>pab</u> ₁ <u>fum</u> ₁ // <u>nic</u> ₁ <u>olv</u> ₃ (2)	7,49	8,83	5,76	10,86	10,58
<u>pur</u> ₁ // <u>nic</u> ₁ <u>olv</u> ₃	15,25	13,67	11,56	11,22	8,58
<u>arg</u> ₁ // <u>nic</u> ₁ <u>olv</u> ₃	11,55	16,56	8,62	12,93	9,98
<u>lys</u> ₁ // <u>nic</u> ₁ <u>olv</u> ₃	9,68	11,22	6,74	6,96	9,69



CAMP

TABELA A6 Produção de AG de mutantes, parentais e diploídes

Linhagens	REPETIÇÕES (U/ml)				
	I	II	III	IV	V
<u>pab</u> ₁ <u>fwn</u> ₁	19,51	15,67	17,01	19,51	21,81
<u>nic</u> ₁ <u>olv</u> ₃	18,88	13,31	8,89	11,55	12,56
<u>pur</u> ₁	19,51	10,26	15,66	9,64	14,48
<u>arg</u> ₁	4,85	3,18	3,69	11,54	3,36
<u>lys</u> ₁	1,85	8,99	1,35	1,43	1,12
<u>pab</u> ₁ <u>fwn</u> ₁ // <u>nic</u> ₁ <u>olv</u> ₃ (1)	4,84	7,99	6,53	7,14	5,88
<u>pab</u> ₁ <u>fwn</u> ₁ // <u>nic</u> ₁ <u>olv</u> ₃ (2)	15,67	9,69	11,89	7,73	9,98
<u>pur</u> ₁ // <u>nic</u> ₁ <u>olv</u> ₃	16,11	13,69	10,28	12,89	10,59
<u>arg</u> ₁ // <u>nic</u> ₁ <u>olv</u> ₃	16,11	20,06	16,56	12,22	10,29
<u>lys</u> ₁ // <u>nic</u> ₁ <u>olv</u> ₃	12,23	12,56	12,55	10,56	10,58

TABELA A7 Produção de AG de mutantes, parentais e diploídes

Linhagens	REPETIÇÕES (U/Ml)				
	I	II	III	IV	V
<u>pab</u> ₁ <u>fum</u> ₁	11,63	15,05	13,86	16,24	18,72
<u>nic</u> ₁ <u>olv</u> ₃	15,11	28,32	16,39	20,32	18,18
<u>mys</u> ₁	15,43	14,52	1,42	15,38	8,58
<u>arg</u> ₁	2,61	3,83	4,53	4,49	2,83
<u>lys</u> ₁ <u>nic</u> ₁	1,01	0,89	0,99	1,09	0,93
<u>met</u> ₁ <u>nic</u> ₁	18,59	8,12	10,25	13,37	9,87
<u>arg</u> ₁ <u>lys</u> ₁	0,82	0,26	0,12	0,12	0,53
<u>met</u> ₁	13,12	14,35	16,52	17,92	17,92
<u>mys</u> ₁ // <u>nic</u> ₁ <u>olv</u> ₃	11,32	16,51	15,17	15,16	15,62
<u>arg</u> ₁ // <u>lys</u> ₁ <u>nic</u> ₁	13,12	13,93	16,16	16,97	11,05
<u>arg</u> ₁ <u>lys</u> ₁ // <u>met</u> ₁ <u>nic</u> ₁	18,41	18,91	21,11	15,15	17,91
<u>met</u> ₁ // <u>nic</u> ₁ <u>olv</u> ₃	16,07	16,52	16,97	12,77	13,12
<u>pab</u> ₁ <u>fum</u> ₁ // <u>nic</u> ₁ <u>olv</u> ₃ (2)	15,15	21,11	24,22	18,41	13,95